



STATICKÝ VÝPOČET

HALA NA POSYPOVÝ MATERIÁL CESTMISTRUVSTVÍ BĚSTOVICE

Prefabrikovaná konstrukce / Stavebně konstrukční část

Zpracovatel: **Prefa Brno a.s.**
Kulkova 10/4231
615 00 Brno
tel.: +420 541 583 111
web: www.prefa.cz

Projektant: Ing. Martin Peňáz
tel.: +420 603 357 751
email: penaz@prefa.cz

Kontroloval: Ing. Jozef Lukáč
tel.: +420 541 583 243
email: lukac@prefa.cz

Datum: 01/2025

1. Obsah

1. Obsah	2
2. Úvod	4
3. Obecný popis	4
4. Statické schéma	5
5. Zatížení	5
6. Materiály	5
7. Podklady	6
8. Statický výpočet	6
8.1. Projekt	6
8.2. Správce nastavení	6
8.3. Výpočtový model	7
8.3.1. Průřezy	7
8.3.2. Popis osového systému	10
8.3.3. Výpočtový model - celkový podled A	11
8.3.4. Výpočtový model - celkový podled B	12
8.3.5. Výpočtový model - celkový podled A - pruty renderované	13
8.3.6. Výpočtový model - celkový podled B - pruty renderované	14
8.3.7. Výpočtový model - celkový podled A - popis prutů	15
8.4. Zatížení	16
8.4.1. Zatěžovací stavy	16
8.4.1.1. Zatěžovací stavy - G0	16
8.4.1.1.1. [kN/m ² ; kN/m; kN] (pro vítr součinitel oblasti[-])	16
8.4.1.2. Zatěžovací stavy - G1	16
8.4.1.2.1. [kN/m ² ; kN/m; kN] (pro vítr součinitel oblasti[-])	17
8.4.1.3. Zatěžovací stavy - G2	17
8.4.1.3.1. [kN/m ² ; kN/m; kN] (pro vítr součinitel oblasti[-])	17
8.4.1.4. Zatěžovací stavy - Q2.1	17
8.4.1.4.1. [kN/m ² ; kN/m; kN] (pro vítr součinitel oblasti[-])	18
8.4.1.5. Zatěžovací stavy - Q2.2	18
8.4.1.5.1. [kN/m ² ; kN/m; kN] (pro vítr součinitel oblasti[-])	18
8.4.1.6. Zatěžovací stavy - Q2.3	18
8.4.1.6.1. [kN/m ² ; kN/m; kN] (pro vítr součinitel oblasti[-])	19
8.4.1.7. Zatěžovací stavy - Q2.4	19
8.4.1.7.1. [kN/m ² ; kN/m; kN] (pro vítr součinitel oblasti[-])	19
8.4.1.8. Zatěžovací stavy - Q3	19
8.4.1.8.1. [kN/m ² ; kN/m; kN] (pro vítr součinitel oblasti[-])	20
8.4.2. Skupiny zatížení	20
8.4.3. Kombinace	20
8.4.4. Skupiny výsledků	21
8.5. Výsledky	22
8.5.1. Vykreslení výsledků	22
8.5.1.1. Vykreslení výsledků - Sloupy	22
8.5.1.1.1. Normálové síly [kN]; Posouvající síly [kN]; Ohybové momenty [kNm] - N	22
8.5.1.1.2. Normálové síly [kN]; Posouvající síly [kN]; Ohybové momenty [kNm] - V_y	23
8.5.1.1.3. Normálové síly [kN]; Posouvající síly [kN]; Ohybové momenty [kNm] - V_z	23
8.5.1.1.4. Normálové síly [kN]; Posouvající síly [kN]; Ohybové momenty [kNm] - M_x	24
8.5.1.1.5. Normálové síly [kN]; Posouvající síly [kN]; Ohybové momenty [kNm] - M_y	24
8.5.1.1.6. Normálové síly [kN]; Posouvající síly [kN]; Ohybové momenty [kNm] - M_z	25
8.5.1.2. Vykreslení výsledků - Vazníky	25
8.5.1.2.1. Normálové síly [kN]; Posouvající síly [kN]; Ohybové momenty [kNm] - N	26
8.5.1.2.2. Normálové síly [kN]; Posouvající síly [kN]; Ohybové momenty [kNm] - V_y	26
8.5.1.2.3. Normálové síly [kN]; Posouvající síly [kN]; Ohybové momenty [kNm] - V_z	27
8.5.1.2.4. Normálové síly [kN]; Posouvající síly [kN]; Ohybové momenty [kNm] - M_x	27
8.5.1.2.5. Normálové síly [kN]; Posouvající síly [kN]; Ohybové momenty [kNm] - M_y	28
8.5.1.2.6. Normálové síly [kN]; Posouvající síly [kN]; Ohybové momenty [kNm] - M_z	28
8.5.1.3. Vykreslení výsledků - Ztužidla	29
8.5.1.3.1. Normálové síly [kN]; Posouvající síly [kN]; Ohybové momenty [kNm] - N	29
8.5.1.3.2. Normálové síly [kN]; Posouvající síly [kN]; Ohybové momenty [kNm] - V_y	30
8.5.1.3.3. Normálové síly [kN]; Posouvající síly [kN]; Ohybové momenty [kNm] - V_z	30
8.5.1.3.4. Normálové síly [kN]; Posouvající síly [kN]; Ohybové momenty [kNm] - M_x	31
8.5.1.3.5. Normálové síly [kN]; Posouvající síly [kN]; Ohybové momenty [kNm] - M_y	31
8.5.1.3.6. Normálové síly [kN]; Posouvající síly [kN]; Ohybové momenty [kNm] - M_z	32
8.5.2. Tabulkové výsledky - průřezy	32
8.5.2.1. Tabulkové výsledky - průřezy - ZT 01	32
8.5.2.1.1. 1D vnitřní síly	32
8.5.2.2. Tabulkové výsledky - průřezy - SI 1	33
8.5.2.2.1. 1D vnitřní síly	33
8.5.2.3. Tabulkové výsledky - průřezy - VA 01	33
8.5.2.3.1. 1D vnitřní síly	33
8.5.2.4. Tabulkové výsledky - průřezy - SL 3	34

8.5.2.4.1. 1D vnitřní síly	34
8.5.2.5. Tabulkové výsledky - průřezy - VS 2	35
8.5.2.5.1. 1D vnitřní síly	35
8.5.2.6. Tabulkové výsledky - průřezy - ZT 2	35
8.5.2.6.1. 1D vnitřní síly	35
8.6. Reakce	37
8.6.1. Výpočtový model - celkový podled - popis podpor	37
8.6.2. Výpočtový model - celkový podled půdorys - popis podpor	38
8.6.3. REAKCE MSU	39
8.6.3.1. Reakce	39
8.6.3.2. Reakce [kN ,kNm] - R_x	42
8.6.3.3. Reakce [kN ,kNm] - R_y	42
8.6.3.4. Reakce [kN ,kNm] - R_z	43
8.6.3.5. Reakce [kN ,kNm] - M_x	43
8.6.3.6. Reakce [kN ,kNm] - M_y	44
8.6.3.7. Reakce [kN ,kNm] - M_z	44
8.6.4. REAKCE MSP	45
8.6.4.1. Reakce	45
8.6.4.2. Reakce [kN ,kNm] - R_x	48
8.6.4.3. Reakce [kN ,kNm] - R_y	48
8.6.4.4. Reakce [kN ,kNm] - R_z	49
8.6.4.5. Reakce [kN ,kNm] - M_x	49
8.6.4.6. Reakce [kN ,kNm] - M_y	50
8.6.4.7. Reakce [kN ,kNm] - M_z	50
9. Opěrná stěna	51
10. Závěr	54

2. Úvod

Identifikační údaje

Objekt / část: ŽELEZOBETONOVÝ PREFA SKELET KONSTRUKČNÍ ŘEŠENÍ
Místo stavby: stavba na parcele KN p. č. st. 205/1 v k. ú. Běstovice

Investor: Správa a údržba silnic Pardubického kraje,
Doubravice 98, 53353 Pardubice

Objednatel: Komplex CR s.r.o.
Ing. Josef Jůn

Zpracovatel konstrukční části: Prefa Brno a.s.
Kulkova 10/4231

615 00 Brno

tel.: +420 541 583 111

Projektant konstrukční části: Ing. Martin Peňáz

tel.: +420 603 357 751

email.: penaz@prefa.cz

Zodpovědný projektant statiky: Ing. Martin Peňáz

tel.: +420 603 357 751

email.: penaz@prefa.cz

Stupeň projektové dokumentace: Dokumentace pro stavební povolení

Číslo zakázky: C24Pe015

Datum: 01/2025

3. Obecný popis

Předmětem této dokumentace je prefabrikovaná železobetonová konstrukce jednodílné haly obdélníkového tvaru o půdorysném rozměru 26x10,4m, výška hřebene cca 9,50m, výška pod průvlak 8,00m.

Modulová vzdálenost obvodových sloupů je 5,20m. Střešní konstrukci tvoří vazníky a štítové vazníky, ztužidla a vaznice.

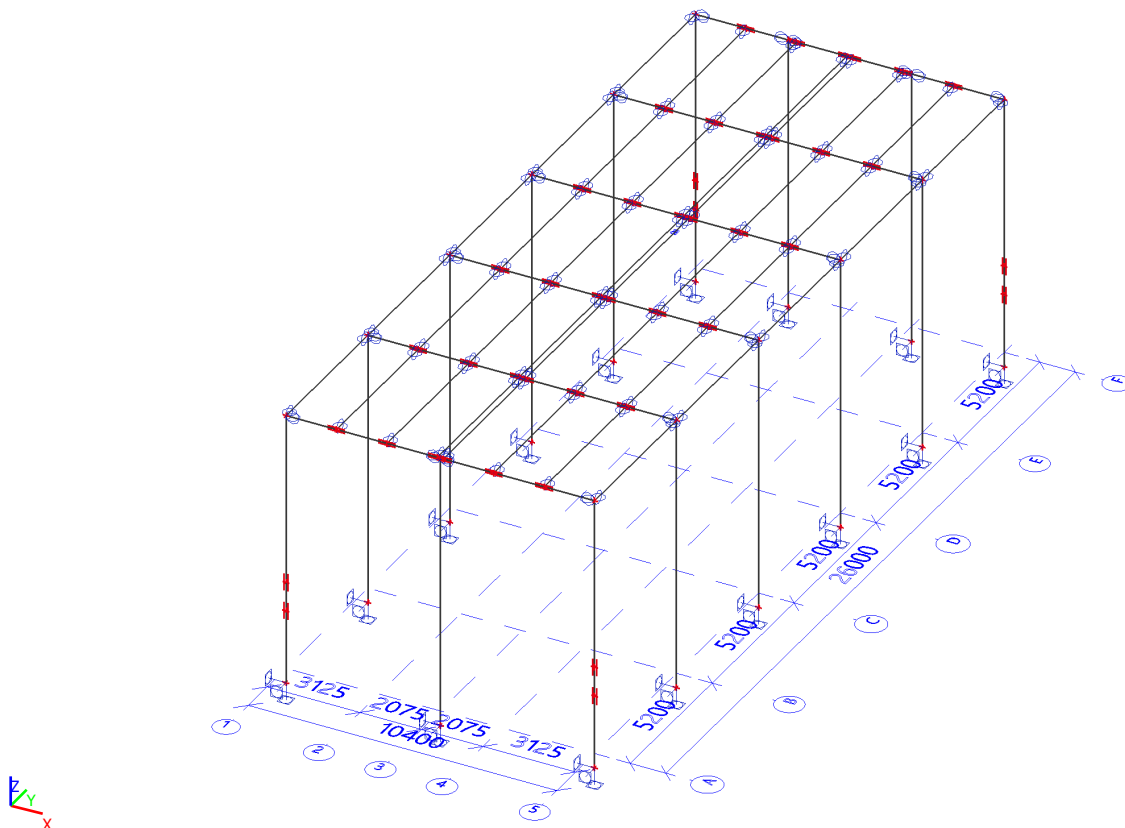
Objekt tvoří jeden dilatační celek.

Opláštění konstrukce bude provedeno dřevěných palubek na nosný dřevěný rošt (řešeno v rámci stavební části). Krytinu tvoří trapézový plech osazený na žb. vaznice.

Skladovací boxy jsou tvořeny z opěrných stěn typu grefa o výšce 5,25m. Maximální výška násypu je 4,50m.

4. Statické schéma

Konstrukce je vymodelována v programu SCIA Engineer 20.0 jako prostorový model v rozsahu obvyklém pro daný typ konstrukce. Statické schéma představuje část prutové konstrukce v prostoru. Nosníkům je v uložení povoleno pootočení v kloubech, tak aby jejich schéma prezentovalo výpočet na prostém nosníku. Sloupové prvky schématu jsou v uložení vetknuty v úrovni horního povrchu kalichů patek. Tuhost konstrukcí je zajištěna vetknutím sloupů do základů a ztužidly mezi rámy objektu.



5. Zatížení

Zatížení bylo uvažováno dle platných norem ČSN – EN (alt. NA.) a dle zadání generálního projektanta.

Zatížení bylo uvažováno dle platných norem ČSN – EN (alt. NA.)

Zatížení sněhem (oblast II) $sk = 1,0 \text{ kN/m}^2$

Zatížení větrem (oblast II) $vb,0 = 25, \text{ m/s}$

Střešní plášť $0,30 \text{ kN/m}^2$

Podvěsy $0,50 \text{ kN/m}^2$

FVE (rezerva výhled) $0,50 \text{ kN/m}^2$

Pozn: zatížení sněhem je uvažováno včetně návěje.

Zatížení opěrných stěn :

Objemová hmotnost mat. 20 kN/m^3

Úhel vnitřního tření 30°

6. Materiály

Konstrukce a její dílce je navržena z následujících materiálů:

Prefa dílce (obecně) C40/50 svp XC4, XF4

Základové prahy, opěrné stěny C30/37 svp XC4+XF4

Podkladní betony C8/10 svp XC0

Výztuž B500B (10.505 (R))
 Kari (6-150/150) pro podkladní beton Bst 500
 Konstrukční ocel kování S235
 Minimální krytí výztuže PREFA dílce (obecně) $c = 30 \text{ mm}$

7. Podklady

Použité normy, literatura

- [1] ČSN EN 1990 Zásady navrhování konstrukcí
- [2] ČSN EN 1991-1-1 Zatížení konstrukcí – část 1.1: Obecná zatížení – Objemové tíhy, vlastní tíha a užitná zatížení pozemních staveb
- [3] ČSN EN 1991-1-3 Zatížení konstrukcí – část 1.3: Obecná zatížení – zatížení sněhem
- [4] ČSN EN 1991-1-4 Zatížení konstrukcí – část 1.4: Obecná zatížení – zatížení větrem
- [5] ČSN EN 1992-1-1 Navrhování betonových konstrukcí – část 1.1: Obecná pravidla a pravidla pro pozemní stavby
- [6] ČSN EN 1168 +A3 Betonové prefabrikáty - Dutinové panely
- [7] Navrhování betonových konstrukcí 1 – Prvky z prostého a železového betonu, dimenzování prvků s přihlédnutím k EN 1992-1-1; Prof. Ing. Jaroslav Procházka, CSc.; Prof. RNDr. Ing. Petr Štěpánek, CSc.; Doc. Ing. Jiří Krátký, CSc.; Doc. Ing. Alena Kohoutková, CSc.; Ing. Jitka Vašková, CSc.; Česká betonářská společnost ČBSI, 2005
- [8] Navrhování betonových konstrukcí – příručka k ČSN EN 1992-1-1 a ČSN EN 1992-1-2; kolektiv autorů, technická knihovna ČKAIT 2010

Pro návrh nosné konstrukce vrchní stavby byly generálním projektantem poskytnuty tyto podklady:

- [1] Rozpracované výkresy sraební části 12/2024 – Ing. Jun

8. Statický výpočet

8.1. Projekt

Uživatel licence	penaz@prefa.cz
Projekt	Hala Běstovice
Popis	ŽB skelet
Autor	Ing. Martin Peňáz
Datum	02. 09. 2021
Konstrukce	Obecná XYZ
Poč. uzlů :	90
Poč. prutů :	64
Poč. ploch :	0
Poč. těles :	0
Poč. průřezů :	5
Poč. zat. stavů :	8
Poč. materiálů :	6
Tíhové zrychlení [m/s^2]	9,810
Národní norma	EC - EN
Národní dodatek	Česká CSN-EN NA
Verze	SCIA Engineer 20.0.5007

8.2. Správce nastavení

Nastavení kombinace

Kategorie zatížení H se nekombinuje se sněhem a větrem	X
--	---

Součinitele Psi

Zatížení	Psi0	Psi1	Psi2
KategorieA	0.7	0.5	0.3
KategorieB	0.7	0.5	0.3
KategorieC	0.7	0.7	0.6
KategorieD	0.7	0.7	0.6
KategorieE	1	0.9	0.8
KategorieF	0.7	0.7	0.6
KategorieG	0.7	0.5	0.3
KategorieH	0.7	0.2	0
Sníh	0.5	0.2	0
Vítr	0.6	0.2	0
Teplota	0.6	0.5	0
Zatížení ledem	0.5	0.2	0
Voda s proměnnou hladinou	0.5	0.2	0
Zatížení od výstavby	1	0	0.2

Součinitele zatížení do kombinací

Stálé zatížení - nepříznivé	1,35
Stálé zatížení - příznivé	1,00
Hlavní proměnné zatížení	1,50
Doprovodné proměnné zatížení	1,50
Redukční součinitel k_{si}	0,85
Stálé zatížení - nepříznivé	1,00
Stálé zatížení - příznivé	1,00
Hlavní proměnné zatížení	1,30
Doprovodné proměnné zatížení	1,30


Tlak větru podle EC1

Větrná zóna	II
$V_{b,0}$ - základní rychlost větru [m/s]	25,000
ρ - hustota vzduchu [kg/m ³]	1,3
c_{dir} - součinitel směru [-]	1,00
c_{season} - součinitel ročního období [-]	1,00
c_o - součinitel orografie [-]	1,00
$1/p$ - doba životnosti budovy [rok]	50,00
c_{prob} - součinitel pravděpodobnosti [-]	1,00
K - součinitel tvaru [-]	0,20
n - exponent [-]	0,50
kategorie terénu	II
K_r - součinitel terénu [-]	0,19
z_0 - délka nerovnosti [m]	0,050
z_{min} - minimální výška [m]	2,000
k_l - součinitel turbulence [-]	1,00
Vnitřní tlak pro 2D vítr	bez vnitřního tlaku
Pozice dominantního povrchu pro 2D vítr	čelní
Otvory - dominantní strana pro 2D vítr	dvakrát
Typ konstrukce	Svislé stěny a obdélníkové budovy (EC1-1-4, 7.2.2)
b - šířka konstrukce [m]	100,000
Referenční úroveň terénu [m]	0,000

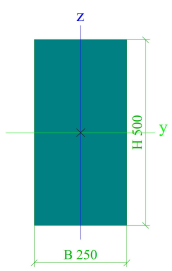

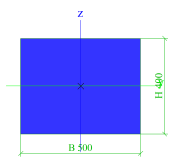
EC popis sněhu


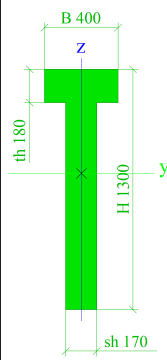

S_k - charakteristická hodnota zatížení sněhem [kN/m ²]	1,00
Sněhové pásmo	II
Typ kombinace	Zatížení sněhem A ≤ 1000 m.n.m.
Ψ_0	0.5
Ψ_1	0.2
Ψ_2	0
C_e - součinitel prostředí [-]	1,00
C_t - tepelný součinitel [-]	1,00
C_{esl} - součinitel mimořádnosti	neuvažuje se

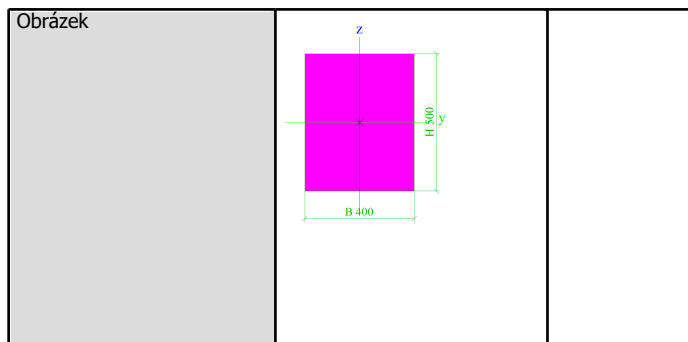
8.3. Výpočtový model
8.3.1. Průřezy

ZT 01		
Typ	Obdélník	
Detailní	500; 250	
Typ tvaru	Tlustostěnný	
Materiál	C40/50	
Výroba	beton	
Barva		
A [m ²]	1,2500e-01	
A_y [m ²], A_z [m ²]	1,0417e-01	1,0417e-01
A_L [m ² /m], A_D [m ² /m]	1,5000e+00	1,5000e+00
$c_{y,UCS}$ [mm], $c_{z,UCS}$ [mm]	125	250
α [deg]	0,00	
I_y [m ⁴], I_z [m ⁴]	2,6042e-03	6,5104e-04
i_y [mm], i_z [mm]	144	72

$W_{el,y}$ [m ³], $W_{el,z}$ [m ³]	1,0417e-02	5,2083e-03
$W_{pl,y}$ [m ³], $W_{pl,z}$ [m ³]	0,0000e+00	0,0000e+00
$M_{pl,y,+}$ [Nm], $M_{pl,y,-}$ [Nm]	0,00e+00	0,00e+00
$M_{pl,z,+}$ [Nm], $M_{pl,z,-}$ [Nm]	0,00e+00	0,00e+00
d_y [mm], d_z [mm]	0	0
I_t [m ⁴], I_w [m ⁶]	1,7869e-03	0,0000e+00
β_y [mm], β_z [mm]	0	0

Obrázek		
		
SI 1		
Typ	Obdélník	
Detailní	400; 500	
Typ tvaru	Tlustostěnný	
Materiál	C40/50	
Výroba	beton	
Barva		
A [m ²]	2,0000e-01	
A _y [m ²], A _z [m ²]	1,6667e-01	1,6667e-01
A _L [m ² /m], A _D [m ² /m]	1,8000e+00	1,8000e+00
c _{y,UCS} [mm], c _{z,UCS} [mm]	250	200
α [deg]	0,00	
I _y [m ⁴], I _z [m ⁴]	2,6667e-03	4,1667e-03
i _y [mm], i _z [mm]	115	144
W _{el,y} [m ³], W _{el,z} [m ³]	1,3333e-02	1,6667e-02
W _{pl,y} [m ³], W _{pl,z} [m ³]	0,0000e+00	0,0000e+00
M _{pl,y,+} [Nm], M _{pl,y,-} [Nm]	0,00e+00	0,00e+00
M _{pl,z,+} [Nm], M _{pl,z,-} [Nm]	0,00e+00	0,00e+00
d _y [mm], d _z [mm]	0	0
I _t [m ⁴], I _w [m ⁶]	5,4984e-03	0,0000e+00
β _y [mm], β _z [mm]	0	0
Obrázek		
		

VA 01		
Typ	T g	
Detailní	1300; 400; 180; 170	
Typ tvaru	Tlustostěnný	
Materiál	C40/50	
Výroba	beton	
Barva		
A [m ²]	2,6240e-01	
A _y [m ²], A _z [m ²]	2,1516e-01	1,9269e-01
A _L [m ² /m], A _D [m ² /m]	3,4000e+00	3,4000e+00
c _{y,UCS} [mm], c _{z,UCS} [mm]	200	738
α [deg]	0,00	
I _y [m ⁴], I _z [m ⁴]	4,2171e-02	1,4185e-03
i _y [mm], i _z [mm]	401	74
W _{el,y} [m ³], W _{el,z} [m ³]	5,7114e-02	7,0927e-03
W _{pl,y} [m ³], W _{pl,z} [m ³]	0,0000e+00	0,0000e+00
M _{pl,y,+} [Nm], M _{pl,y,-} [Nm]	0,00e+00	0,00e+00
M _{pl,z,+} [Nm], M _{pl,z,-} [Nm]	0,00e+00	0,00e+00
d _y [mm], d _z [mm]	0	0
I _t [m ⁴], I _w [m ⁶]	2,8089e-03	0,0000e+00
β _y [mm], β _z [mm]	-84	0
Obrázek		
		
SL 3		
Typ	Obdélník	
Detailní	500; 400	
Typ tvaru	Tlustostěnný	
Materiál	C40/50	
Výroba	beton	
Barva		
A [m ²]	2,0000e-01	
A _y [m ²], A _z [m ²]	1,6667e-01	1,6667e-01
A _L [m ² /m], A _D [m ² /m]	1,8000e+00	1,8000e+00
c _{y,UCS} [mm], c _{z,UCS} [mm]	200	250
α [deg]	0,00	
I _y [m ⁴], I _z [m ⁴]	4,1667e-03	2,6667e-03
i _y [mm], i _z [mm]	144	115
W _{el,y} [m ³], W _{el,z} [m ³]	1,6667e-02	1,3333e-02
W _{pl,y} [m ³], W _{pl,z} [m ³]	0,0000e+00	0,0000e+00
M _{pl,y,+} [Nm], M _{pl,y,-} [Nm]	0,00e+00	0,00e+00
M _{pl,z,+} [Nm], M _{pl,z,-} [Nm]	0,00e+00	0,00e+00
d _y [mm], d _z [mm]	0	0
I _t [m ⁴], I _w [m ⁶]	5,4984e-03	0,0000e+00
β _y [mm], β _z [mm]	0	0

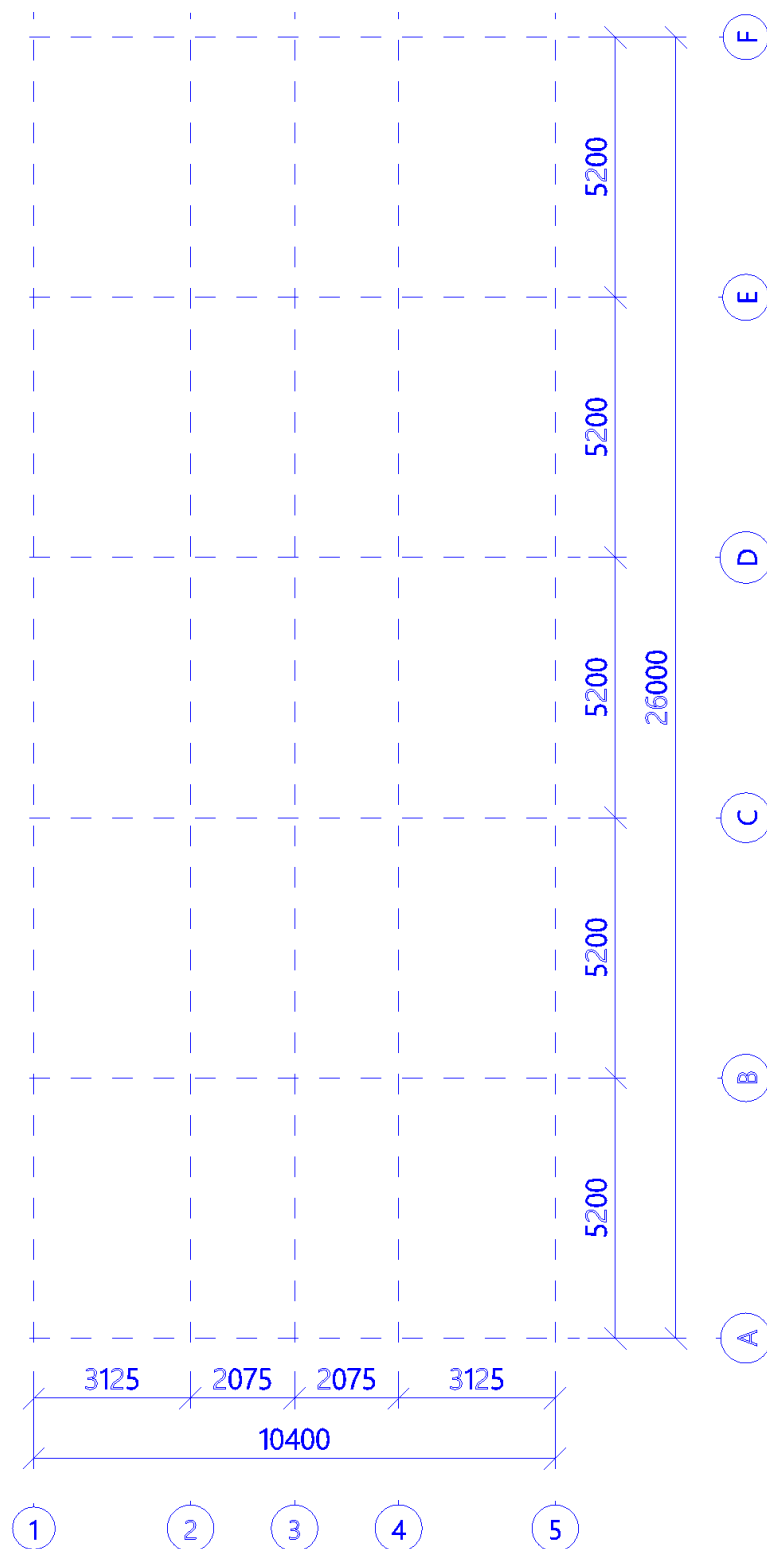


Vysvětlivky symbolů	
A	Plocha
A_y	Smyková plocha ve směru hlavní osy y
A_z	Smyková plocha ve směru hlavní osy z
A_L	Obvodový povrch na jednotku délky
A_D	Vysýchající povrch na jednotku délky
$C_{Y,UCS}$	Souřadnice těžiště ve směru osy Y zadávacího systému
$C_{Z,UCS}$	Souřadnice těžiště ve směru osy Z zadávacího systému
$I_{Y,LCS}$	Moment setrvačnosti kolem osy YLSS
$I_{Z,LCS}$	Moment setrvačnosti kolem osy ZLSS
$I_{YZ,LCS}$	Moment setrvačnosti I_{yz} v LSS
α	Úhel pootočení hlavní osy
I_y	Moment setrvačnosti kolem hlavní osy y
I_z	Moment setrvačnosti kolem hlavní osy z
i_y	Poloměr setrvačnosti kolem hlavní osy y
i_z	Poloměr setrvačnosti kolem hlavní osy z

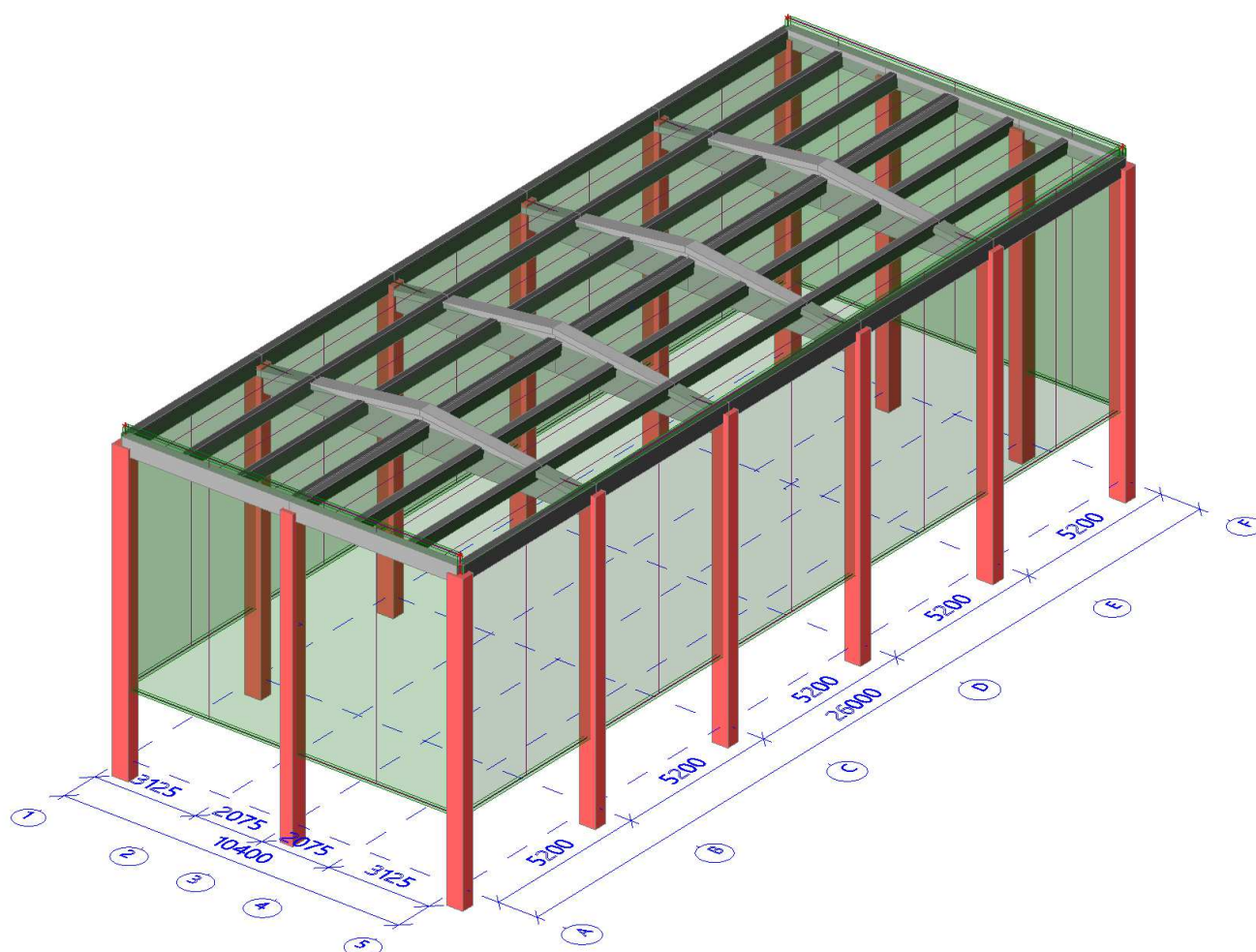
Vysvětlivky symbolů	
$W_{el,y}$	Pružný modul průřezu k hlavní ose y
$W_{el,z}$	Pružný modul průřezu k hlavní ose z
$W_{pl,y}$	Plastický modul průřezu k hlavní ose y
$W_{pl,z}$	Plastický modul průřezu k hlavní ose z
$M_{pl,y,+}$	Plastický moment kolem hlavní osy y pro kladný moment M_y
$M_{pl,y,-}$	Plastický moment kolem hlavní osy y pro záporný moment M_y
$M_{pl,z,+}$	Plastický moment kolem hlavní osy z pro kladný moment M_z
$M_{pl,z,-}$	Plastický moment kolem hlavní osy z pro záporný moment M_z
d_y	Souřadnice středu smyku ve směru hlavní osy y měřená od těžiště - Nespočteno nebo zjednodušeno
d_z	Souřadnice středu smyku ve směru hlavní osy z měřená od těžiště - Nespočteno nebo zjednodušeno
I_t	Moment setrvačnosti v prostém kroucení - Nespočteno nebo zjednodušeno
I_w	Výsečový moment setrvačnosti - Nespočteno nebo zjednodušeno
β_y	Mono-symetrická konstanta kolem hlavní osy y
β_z	Mono-symetrická konstanta kolem hlavní osy z

8.3.2. Popis osového systému

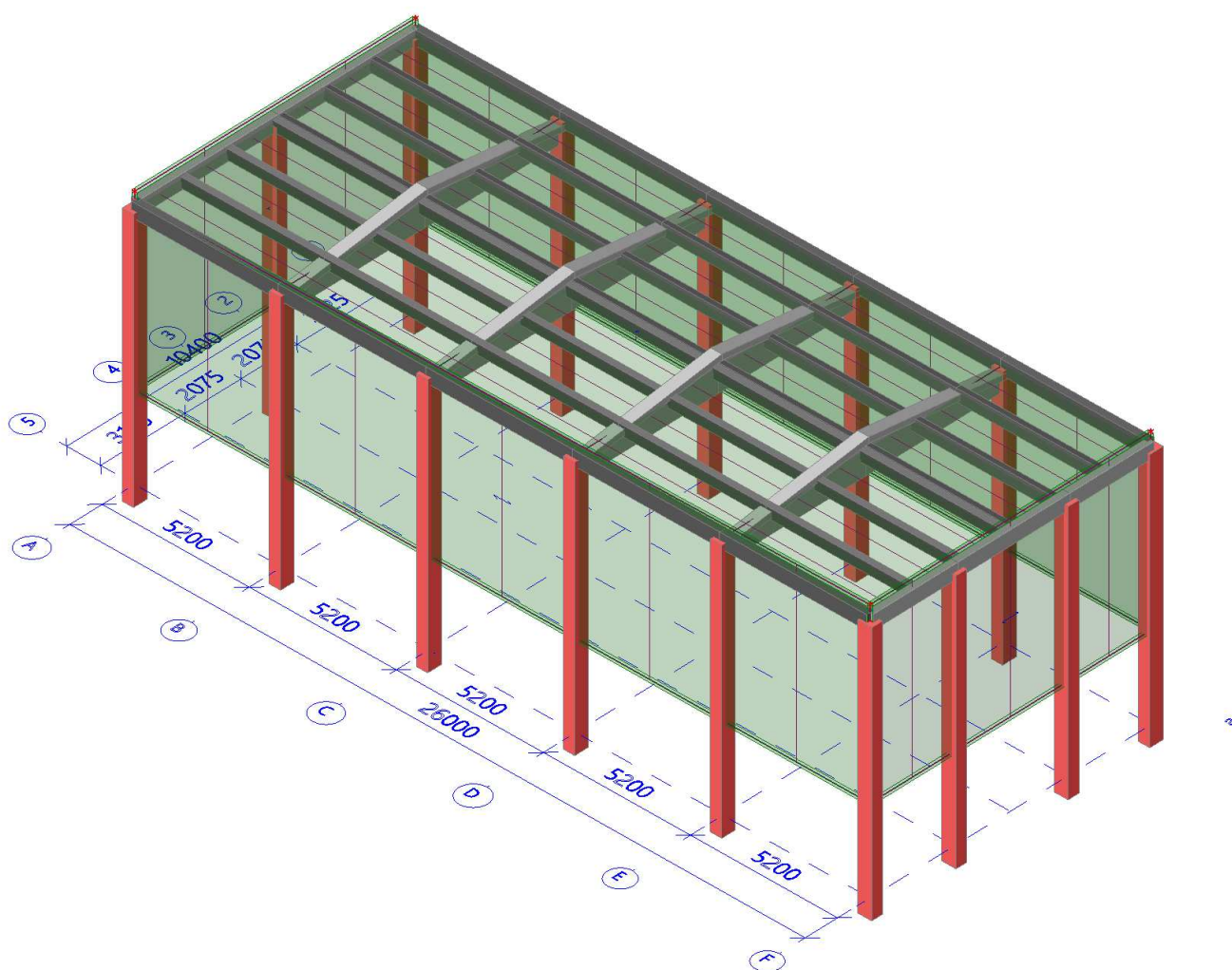
a



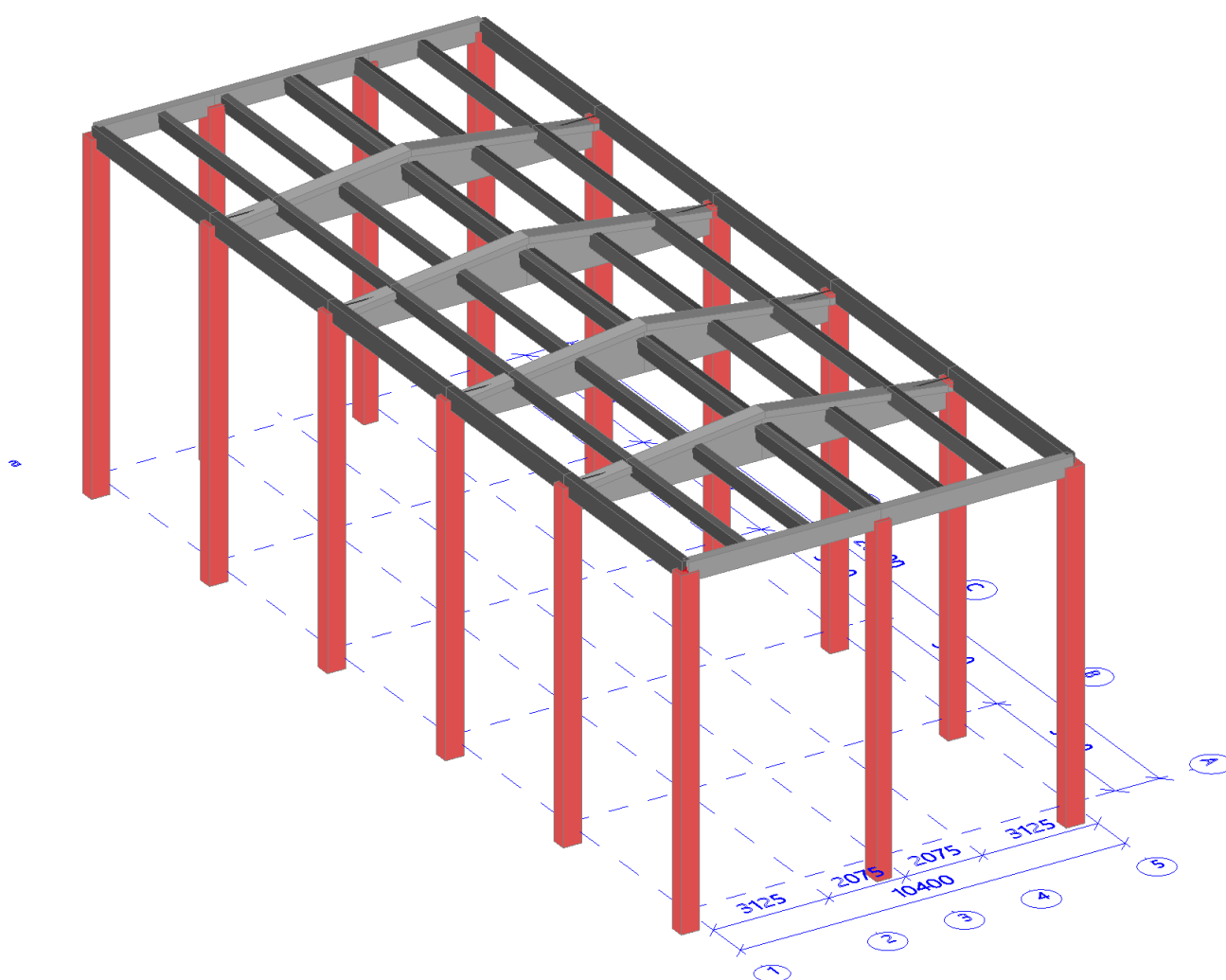
8.3.3. Výpočtový model - celkový podled A



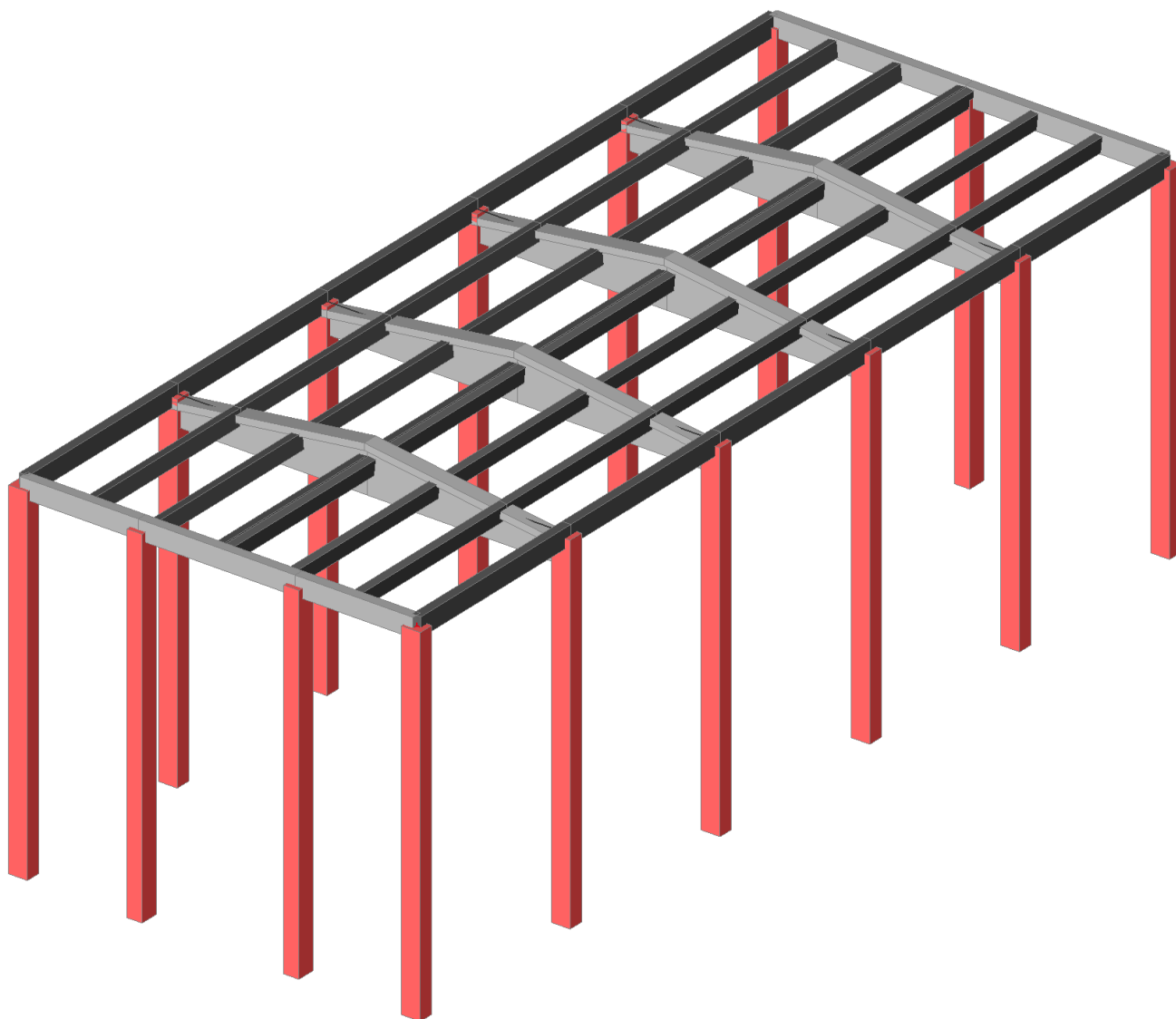
8.3.4. Výpočtový model - celkový podled B



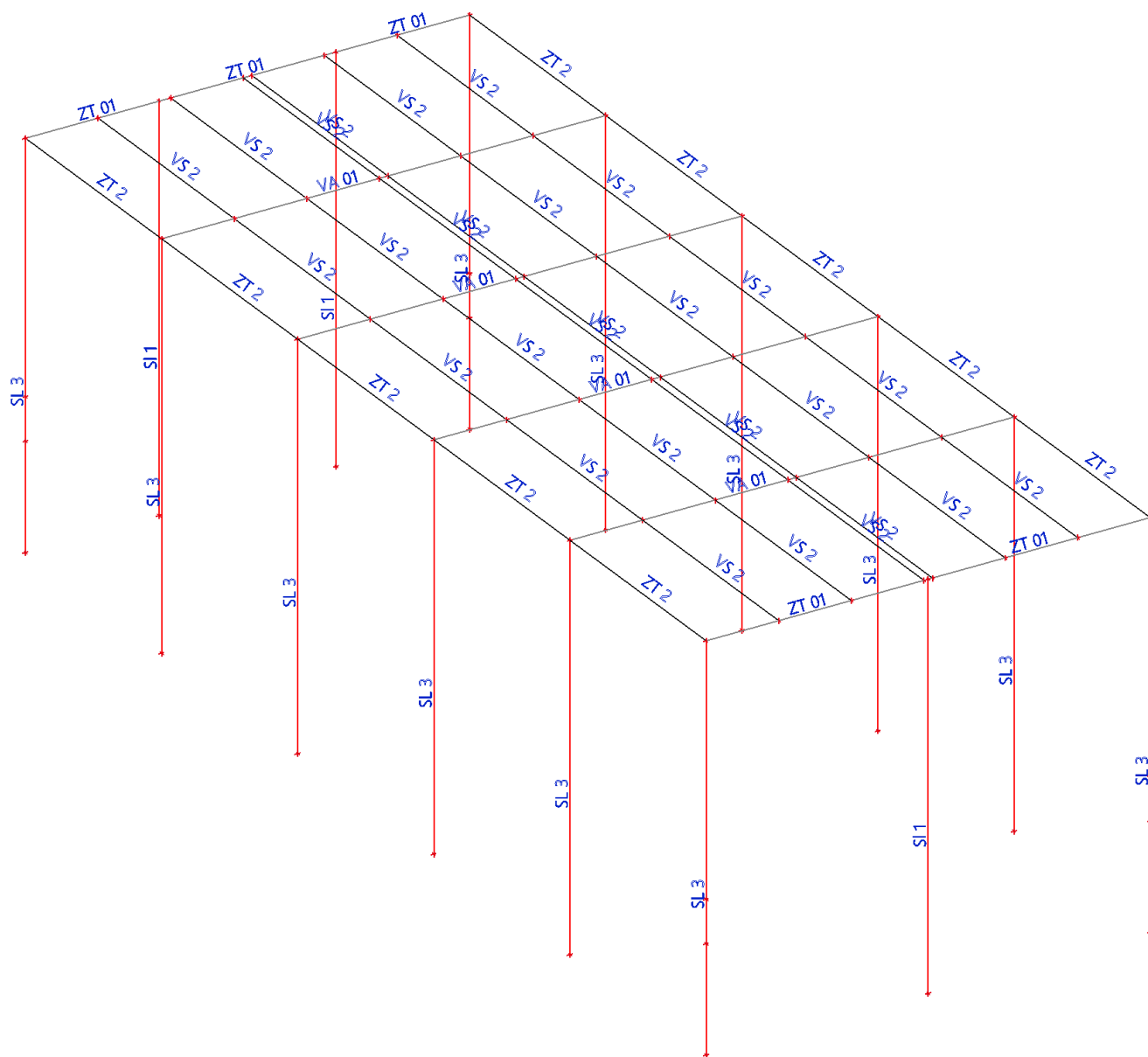
8.3.5. Výpočtový model - celkový podled A - pruty renderované



8.3.6. Výpočtový model - celkový podled B - pruty renderované



8.3.7. Výpočtový model - celkový podled A - popis prutů



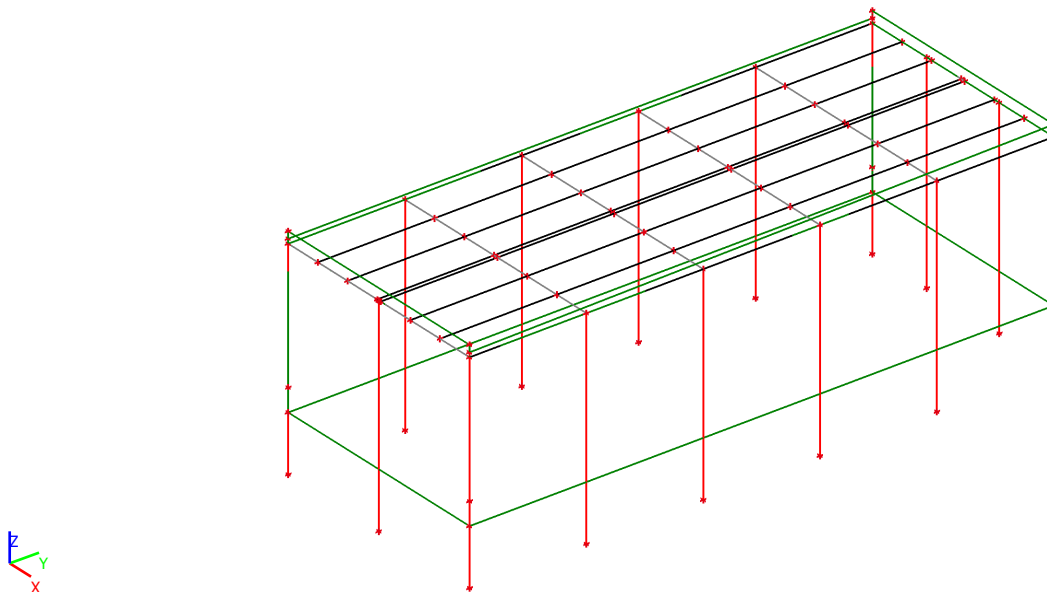
8.4. Zatížení

8.4.1. Zatěžovací stavy

8.4.1.1. Zatěžovací stavy - G0

Jméno	Popis	Typ působení	Skupina zatížení	Směr
	Spec	Typ zatížení		
G0	Vlastní tíha	Stálé	SZ1	-Z
		Vlastní tíha		

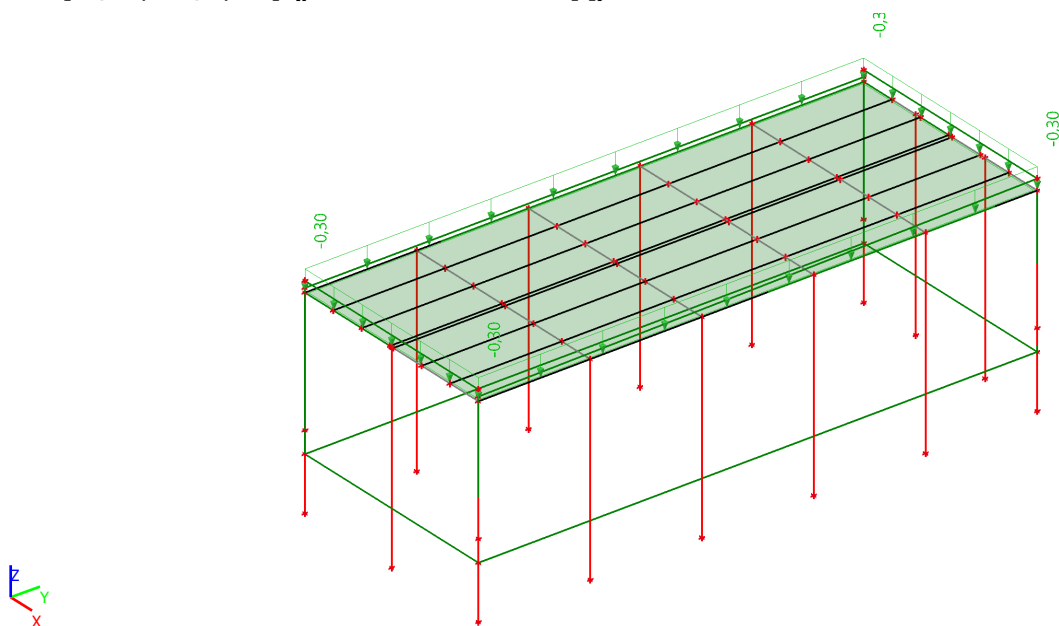
8.4.1.1.1. [kN/m²; kN/m; kN] (pro vítr součinitel oblasti[-])



8.4.1.2. Zatěžovací stavy - G1

Jméno	Popis	Typ působení	Skupina zatížení
	Spec	Typ zatížení	
G1	střešní plast	Stálé	SZ1
		Standard	

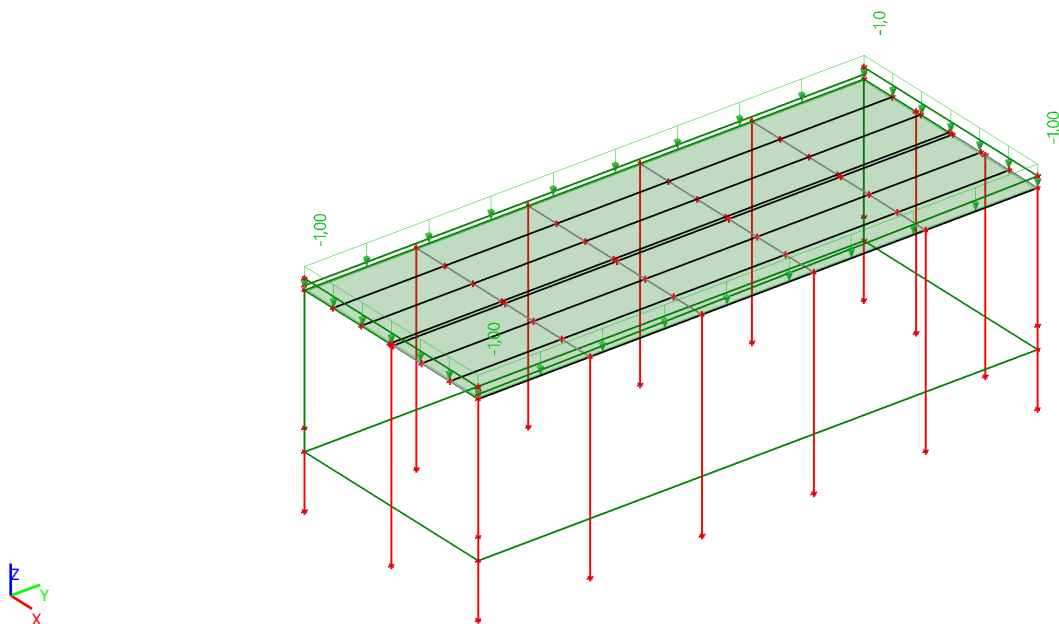
8.4.1.2.1. $[kN/m^2; kN/m; kN]$ (pro vítr součinitel oblasti[-])



8.4.1.3. Zatěžovací stavy - G2

Jméno	Popis	Typ působení	Skupina zatížení
	Spec	Typ zatížení	
G2	FVE +podvesy	Stálé	SZ1
		Standard	

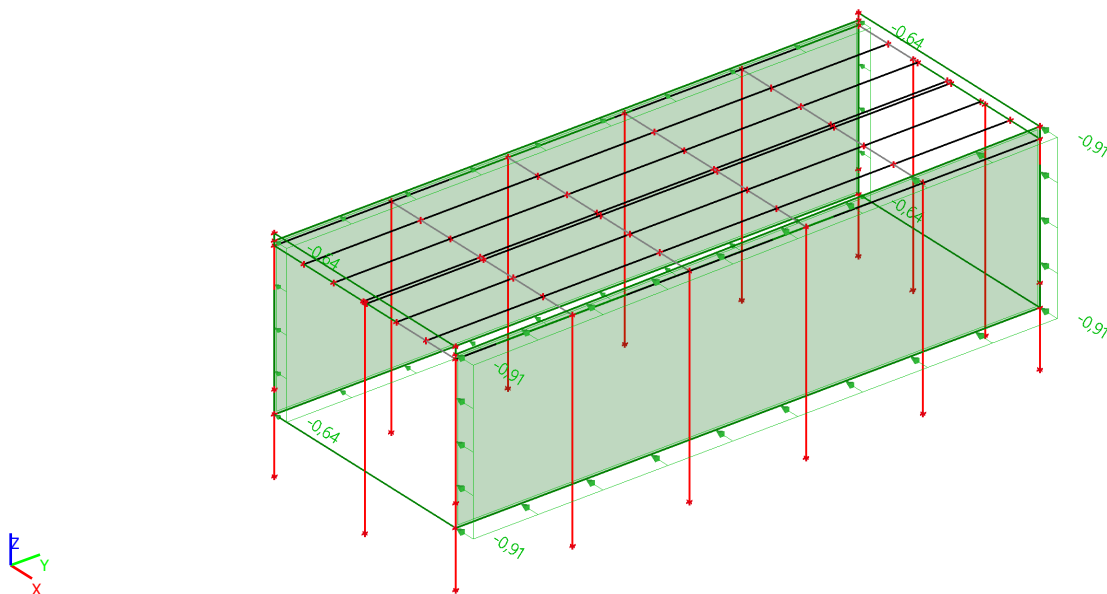
8.4.1.3.1. $[kN/m^2; kN/m; kN]$ (pro vítr součinitel oblasti[-])



8.4.1.4. Zatěžovací stavy - Q2.1

Jméno	Popis	Typ působení	Skupina zatížení	Působení	Ridící zat. stav
	Spec	Typ zatížení			
Q2.1	vítr - příčný +	Proměnné	SZ3	Krátkodobé	Žádný
	Standard	Statické			

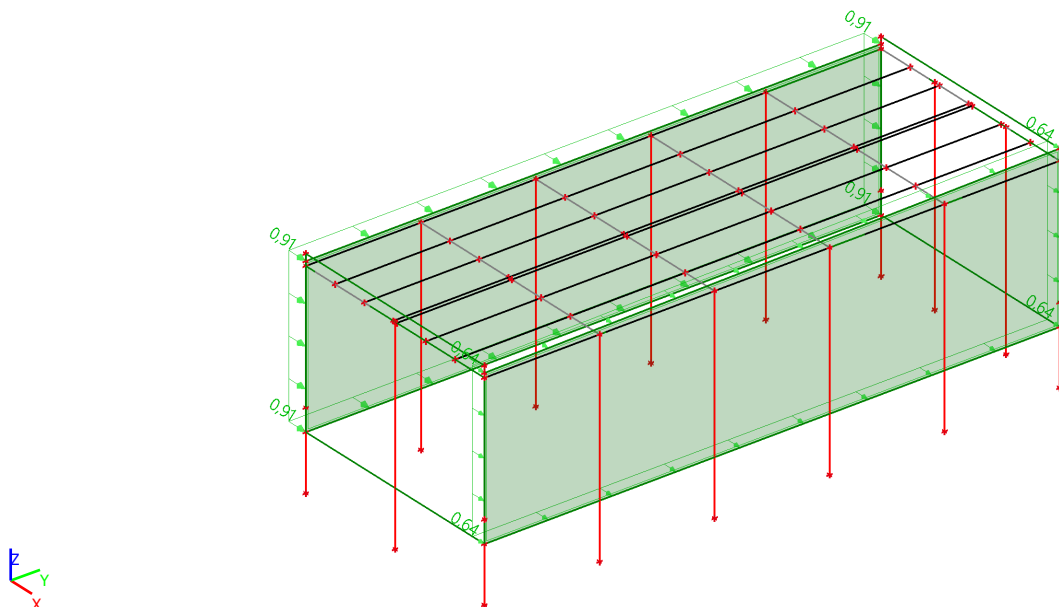
8.4.1.4.1. $[kN/m^2; kN/m; kN]$ (pro vítr součinitel oblasti[-])



8.4.1.5. Zatěžovací stavy - Q2.2

Jméno	Popis	Typ působení	Skupina zatížení	Působení	Rídící zat. stav
	Spec	Typ zatížení			
Q2.2	vítr - příčný - Standard	Proměnné Statické	SZ3	Krátkodobé	Žádný

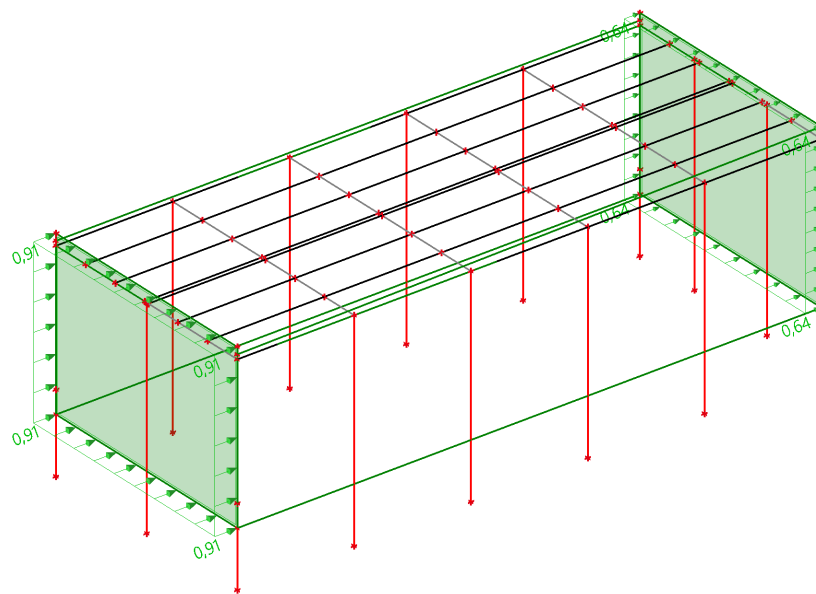
8.4.1.5.1. $[kN/m^2; kN/m; kN]$ (pro vítr součinitel oblasti[-])



8.4.1.6. Zatěžovací stavy - Q2.3

Jméno	Popis	Typ působení	Skupina zatížení	Působení	Rídící zat. stav
	Spec	Typ zatížení			
Q2.3	vítr - ppodélný + Standard	Proměnné Statické	SZ3	Krátkodobé	Žádný

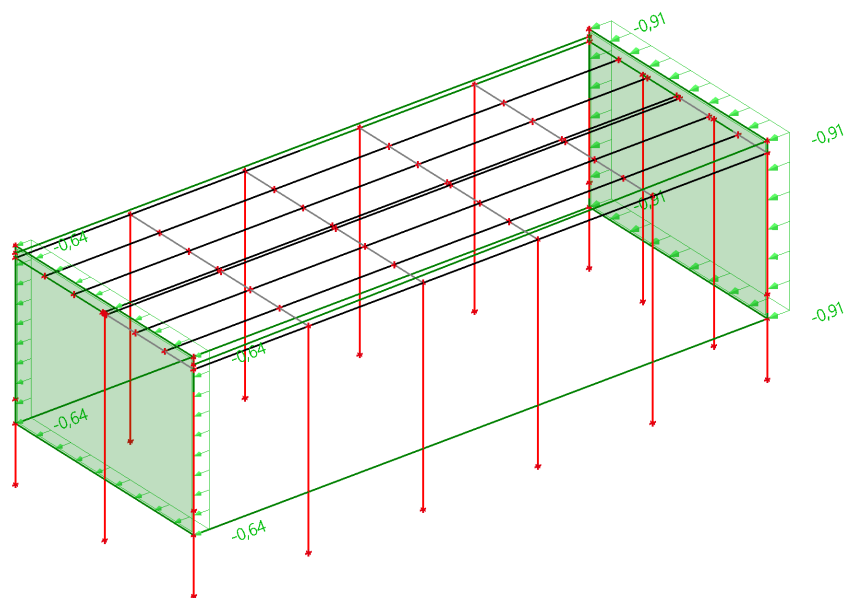
8.4.1.6.1. $[kN/m^2; kN/m; kN]$ (pro vítr součinitel oblasti[-])



8.4.1.7. Zatěžovací stavy - Q2.4

Jméno	Popis	Typ působení	Skupina zatížení	Působení	Rídící zat. stav
	Spec	Typ zatížení			
Q2.4	vítr - ppodélný - Standard	Proměnné Statické	SZ3	Krátkodobé	Žádný

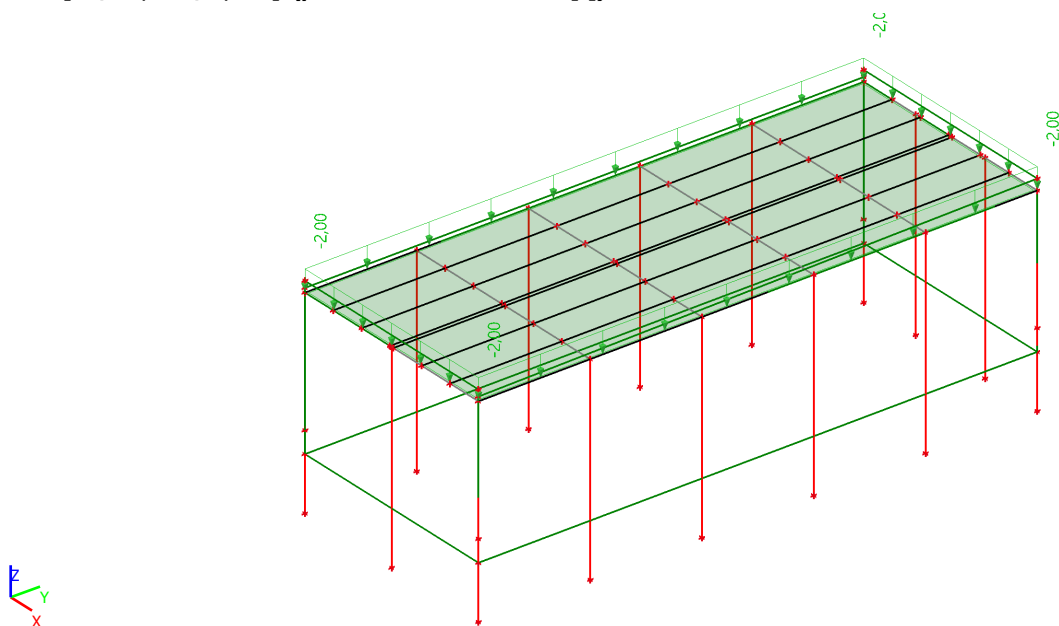
8.4.1.7.1. $[kN/m^2; kN/m; kN]$ (pro vítr součinitel oblasti[-])



8.4.1.8. Zatěžovací stavy - Q3

Jméno	Popis	Typ působení	Skupina zatížení	Působení	Rídící zat. stav
	Spec	Typ zatížení			
Q3	sníh Standard	Proměnné Statické	SZ2	Krátkodobé	Žádný

8.4.1.8.1. [kN/m²; kN/m; kN] (pro vítr součinitel oblasti[-])



8.4.2. Skupiny zatížení

Jméno	Zatížení	Vztah	Typ
SZ1	Stálé		
SZ2	Proměnné	Standard	Kat B : kanceláře
SZ3	Proměnné	Výběrová	Vítr
SZ4	Proměnné	Standard	Sníh
SZ5	Stálé		
CR1	Proměnné	Výběrová	Kat B : kanceláře
CR2	Proměnné	Výběrová	Kat B : kanceláře
CR1b	Proměnné	Výběrová	Kat B : kanceláře
CR2b	Proměnné	Výběrová	Kat B : kanceláře

8.4.3. Kombinace

Jméno	Popis	Typ	Zatěžovací stavy	Souč. [-]
MSÚ-Sada B (auto)		EN-MSÚ (STR/GEO) Soubor B	G0 - Vlastní tíha G2 - FVE +podvesy G1 - střešní plast Q2.1 - vítr - příčný + Q2.2 - vítr - příčný - Q2.3 - vítr - ppodélný + Q2.4 - vítr - ppodélný - Q3 - sníh	1,00 1,00 1,00 1,00 1,00 1,00 1,00
MSP-Char (auto)		EN-MSP charakteristická	G0 - Vlastní tíha G2 - FVE +podvesy Q2.1 - vítr - příčný + Q2.2 - vítr - příčný - Q2.3 - vítr - ppodélný + Q2.4 - vítr - ppodélný - Q3 - sníh G1 - střešní plast	1,00 1,00 1,00 1,00 1,00 1,00 1,00
MSP-Kvazi (auto)		EN-MSP kvazistálá	G0 - Vlastní tíha G2 - FVE +podvesy Q2.1 - vítr - příčný + Q2.2 - vítr - příčný - Q2.3 - vítr - ppodélný + Q2.4 - vítr - ppodélný - Q3 - sníh G1 - střešní plast	1,00 1,00 1,00 1,00 1,00 1,00 1,00

8.4.4. Skupiny výsledků

Jméno	Výpis
Všechny MSU	MSÚ-Sada B (auto) - EN-MSÚ (STR/GEO) Soubor B

8.5. Výsledky

8.5.1. Vykreslení výsledků

8.5.1.1. Vykreslení výsledků - Sloupy

Jméno	Pouze konstrukční model	Barva
Sloupy	X	■

8.5.1.1.1. Normálové síly [kN]; Posouvající síly [kN]; Ohybové momenty [kNm] - N

Hodnoty: **N**

Lineární výpočet

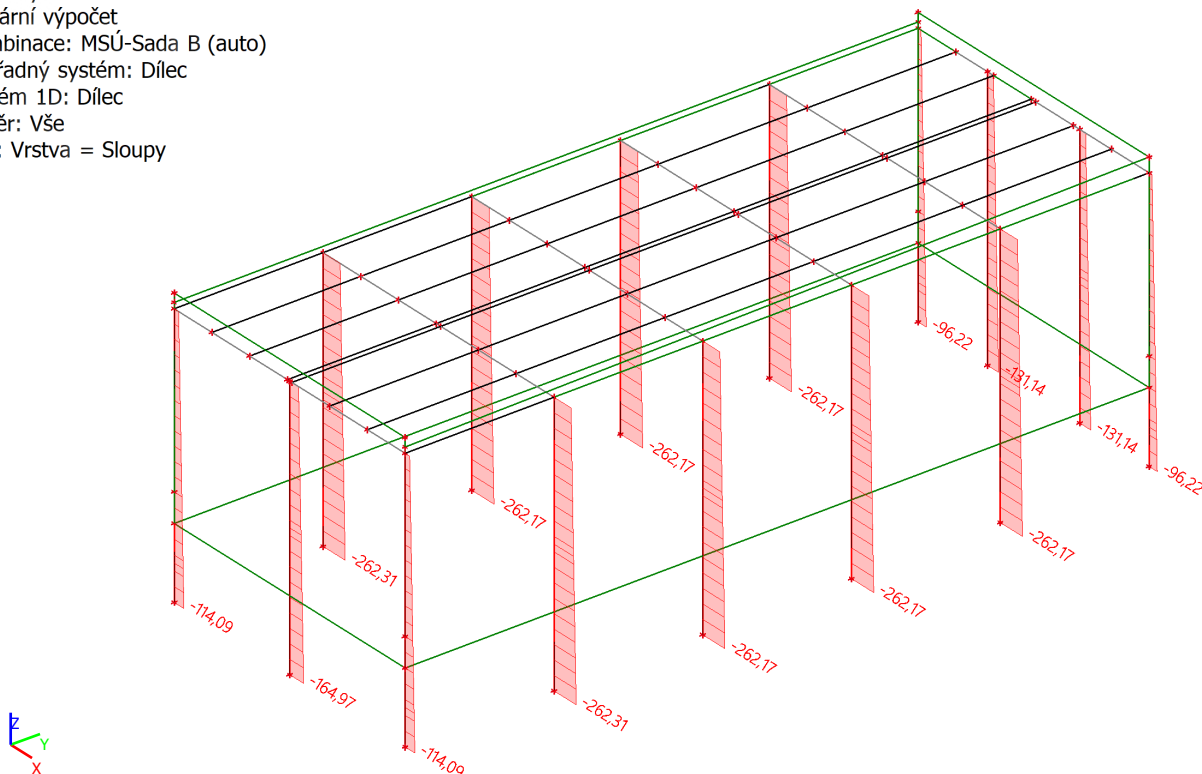
Kombinace: MSÚ-Sada B (auto)

Souřadný systém: Dílec

Extrém 1D: Dílec

Výběr: Vše

Filtr: Vrstva = Sloupy



8.5.1.1.2. Normálové síly [kN]; Posouvající síly [kN]; Ohybové momenty [kNm] - V_y

Hodnoty: V_y

Lineární výpočet

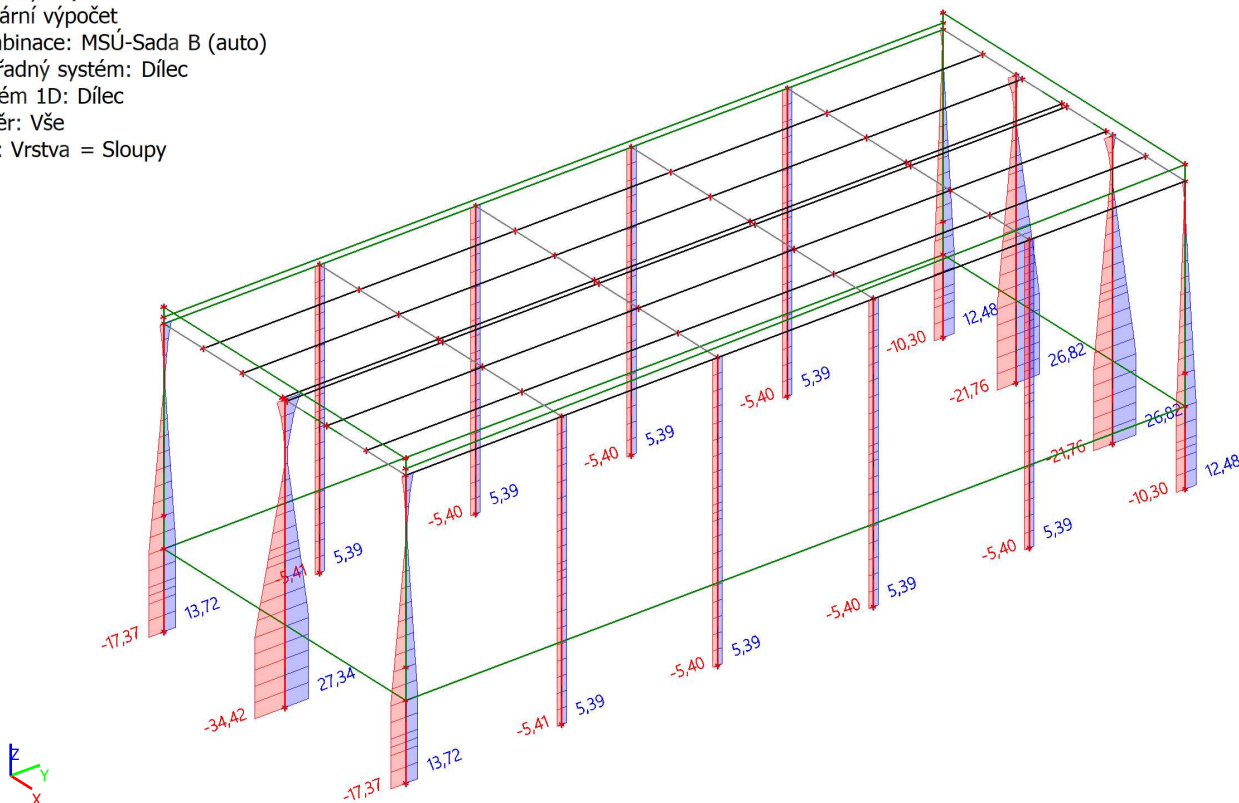
Kombinace: MSÚ-Sada B (auto)

Souřadný systém: Dílec

Extrém 1D: Dílec

Výběr: Vše

Filtr: Vrstva = Sloupy



8.5.1.1.3. Normálové síly [kN]; Posouvající síly [kN]; Ohybové momenty [kNm] - V_z

Hodnoty: V_z

Lineární výpočet

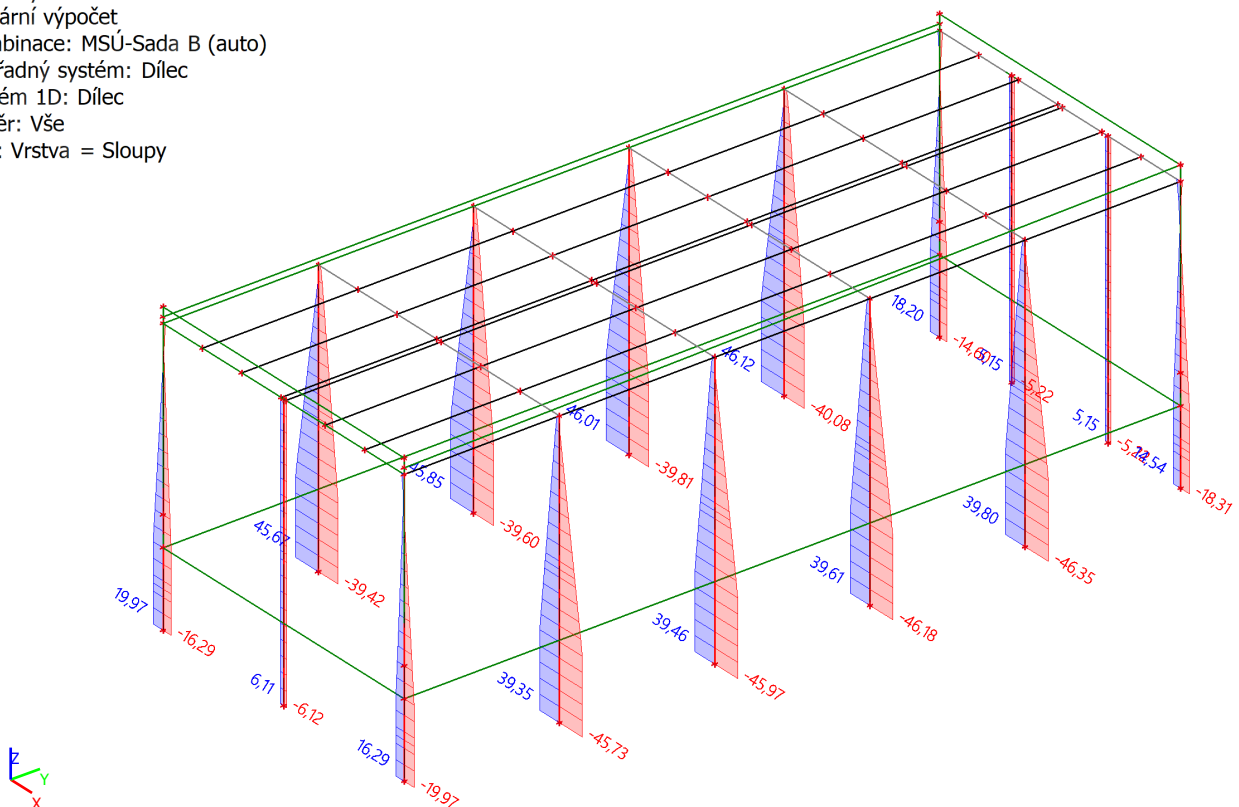
Kombinace: MSÚ-Sada B (auto)

Souřadný systém: Dílec

Extrém 1D: Dílec

Výběr: Vše

Filtr: Vrstva = Sloupy



8.5.1.1.4. Normálové síly [kN]; Posouvající síly [kN]; Ohybové momenty [kNm] - M_x

Hodnoty: M_x

Lineární výpočet

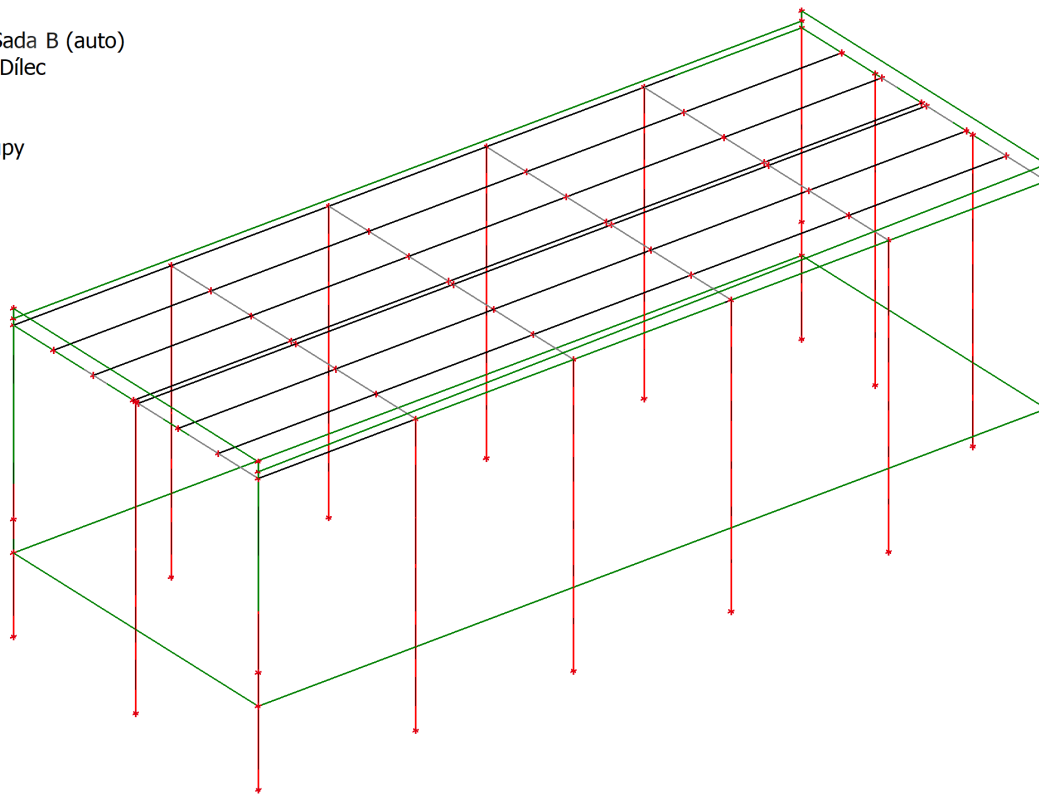
Kombinace: MSÚ-Sada B (auto)

Souřadný systém: Dílec

Extrém 1D: Dílec

Výběr: Vše

Filtr: Vrstva = Sloupy



8.5.1.1.5. Normálové síly [kN]; Posouvající síly [kN]; Ohybové momenty [kNm] - M_y

Hodnoty: M_y

Lineární výpočet

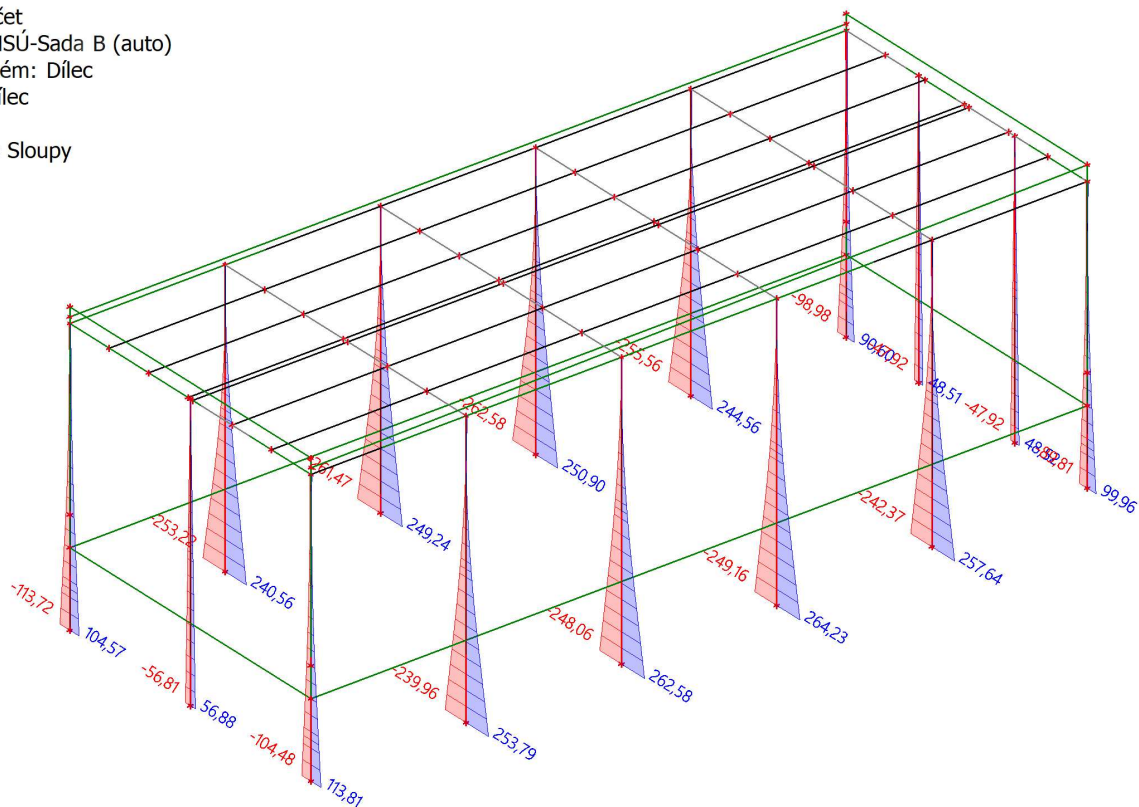
Kombinace: MSÚ-Sada B (auto)

Souřadný systém: Dílec

Extrém 1D: Dílec

Výběr: Vše

Filtr: Vrstva = Sloupy



8.5.1.1.6. Normálové síly [kN]; Posouvající síly [kN]; Ohybové momenty [kNm] - M_z

Hodnoty: M_z

Lineární výpočet

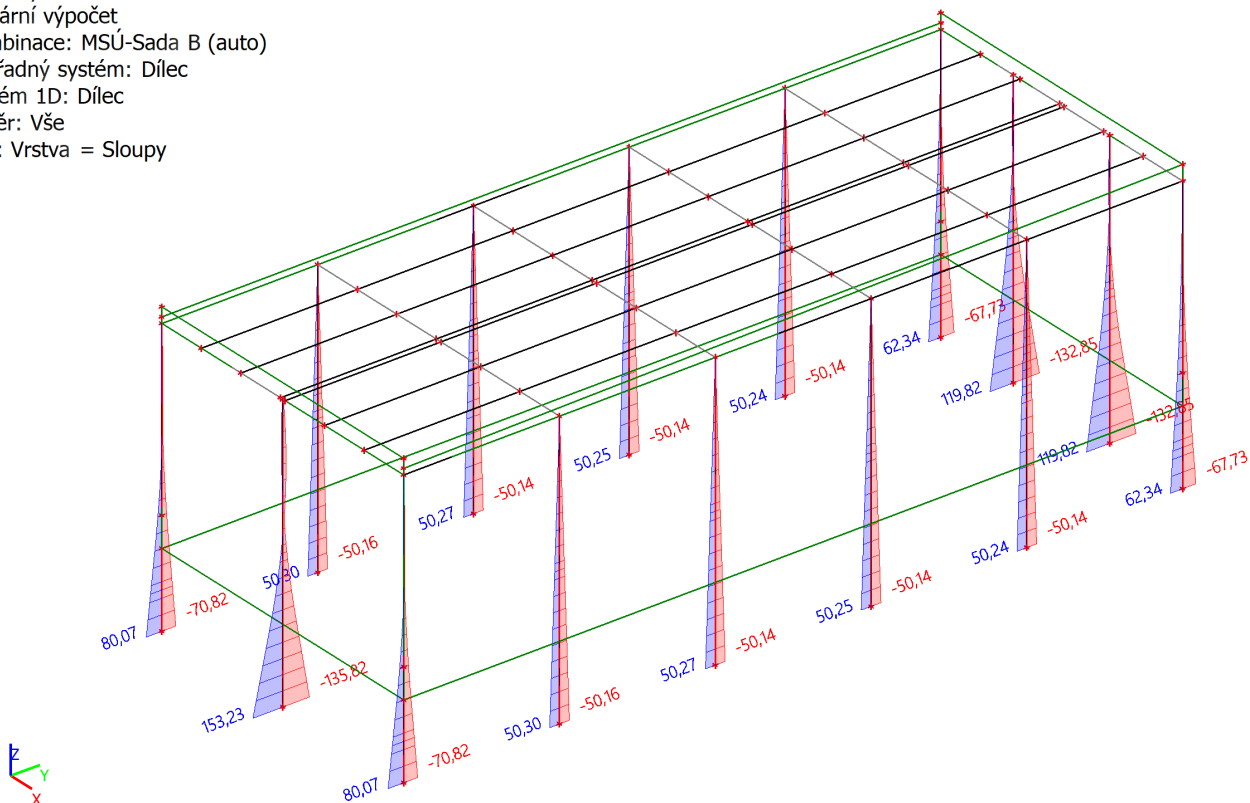
Kombinace: MSÚ-Sada B (auto)

Souřadný systém: Dílec

Extrém 1D: Dílec

Výběr: Vše

Filtr: Vrstva = Sloupy



8.5.1.2. Vykreslení výsledků - Vazníky

Jméno	Pouze konstrukční model	Barva
Vazníky	X	

8.5.1.2.1. Normálové síly [kN]; Posouvající síly [kN]; Ohybové momenty [kNm] - N

Hodnoty: **N**

Lineární výpočet

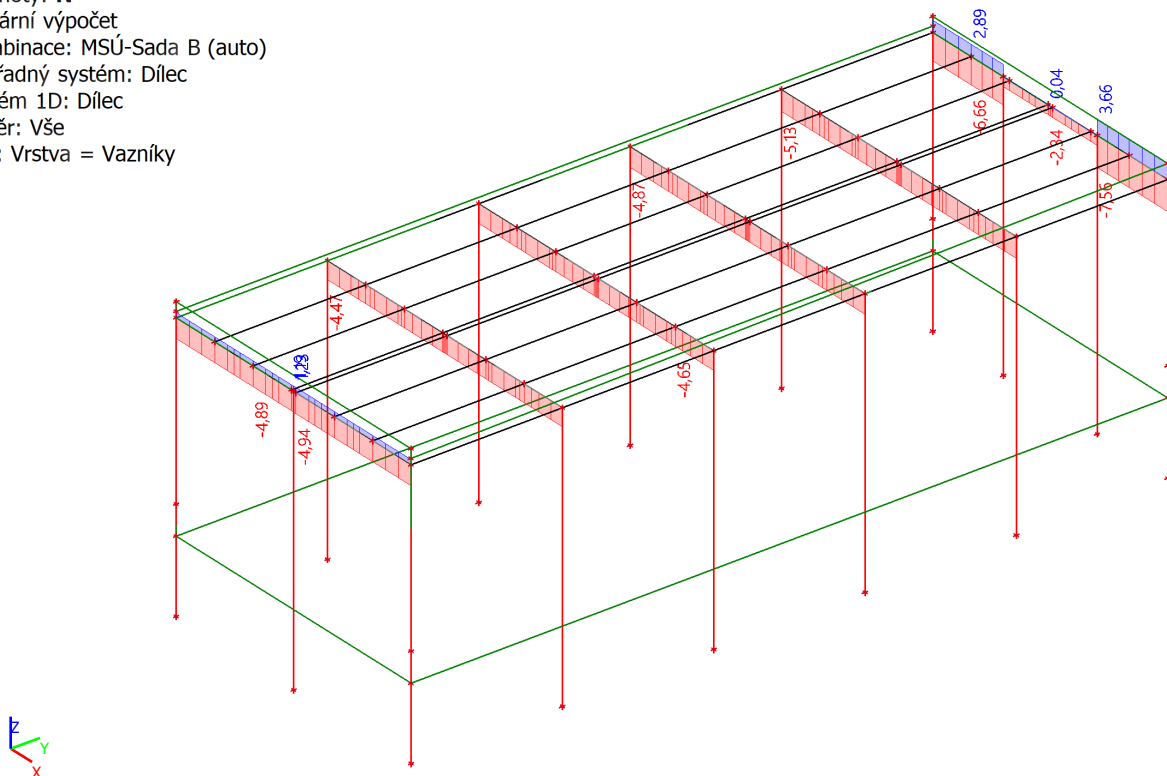
Kombinace: MSÚ-Sada B (auto)

Souřadný systém: Dílec

Extrém 1D: Dílec

Výběr: Vše

Filtr: Vrstva = Vazníky



8.5.1.2.2. Normálové síly [kN]; Posouvající síly [kN]; Ohybové momenty [kNm] - V_y

Hodnoty: **V_y**

Lineární výpočet

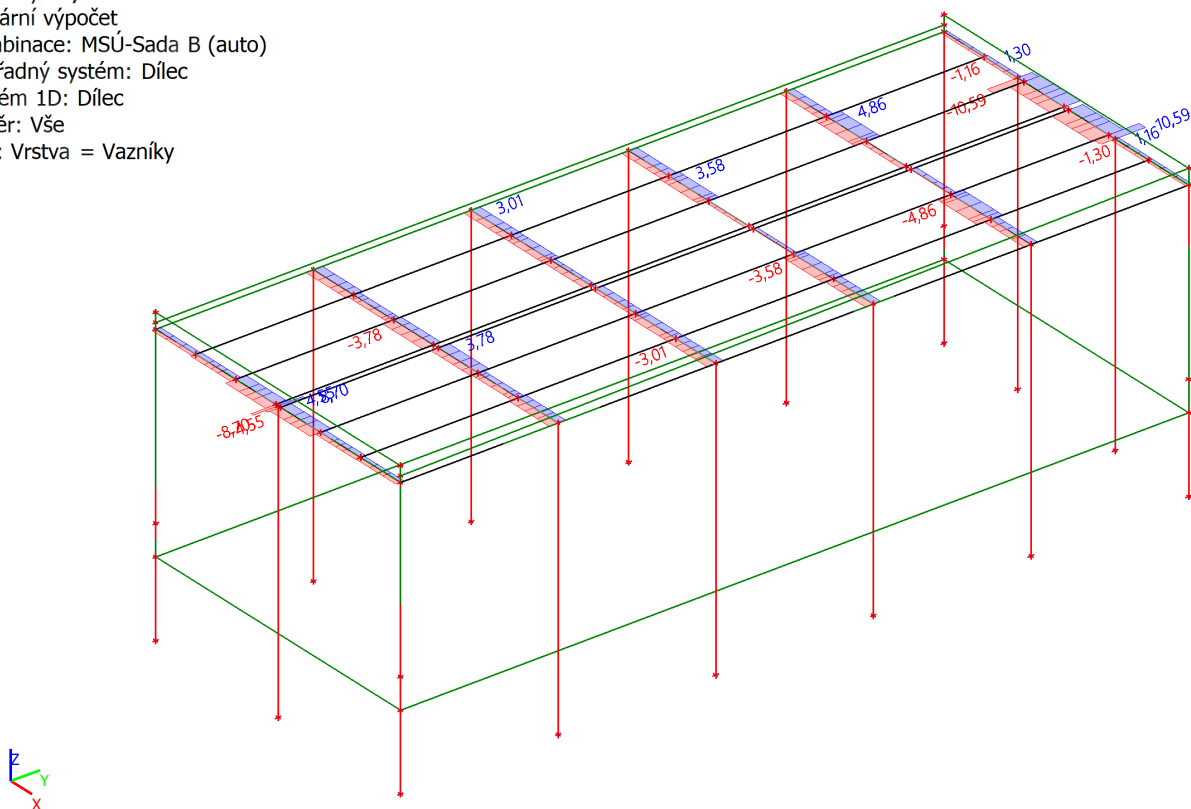
Kombinace: MSÚ-Sada B (auto)

Souřadný systém: Dílec

Extrém 1D: Dílec

Výběr: Vše

Filtr: Vrstva = Vazníky



8.5.1.2.3. Normálové síly [kN]; Posouvající síly [kN]; Ohybové momenty [kNm] - V_z

Hodnoty: V_z

Lineární výpočet

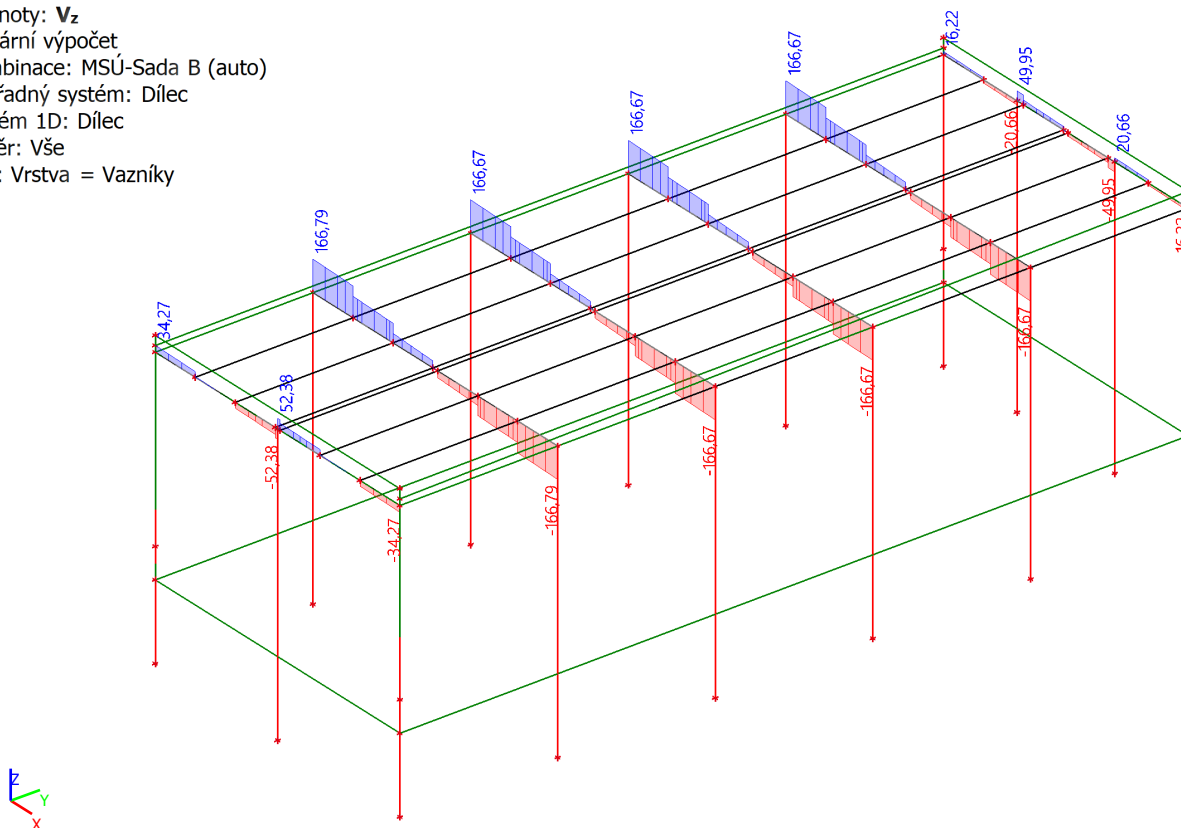
Kombinace: MSÚ-Sada B (auto)

Souřadný systém: Dílec

Extrém 1D: Dílec

Výběr: Vše

Filtr: Vrstva = Vazníky



8.5.1.2.4. Normálové síly [kN]; Posouvající síly [kN]; Ohybové momenty [kNm] - M_x

Hodnoty: M_x

Lineární výpočet

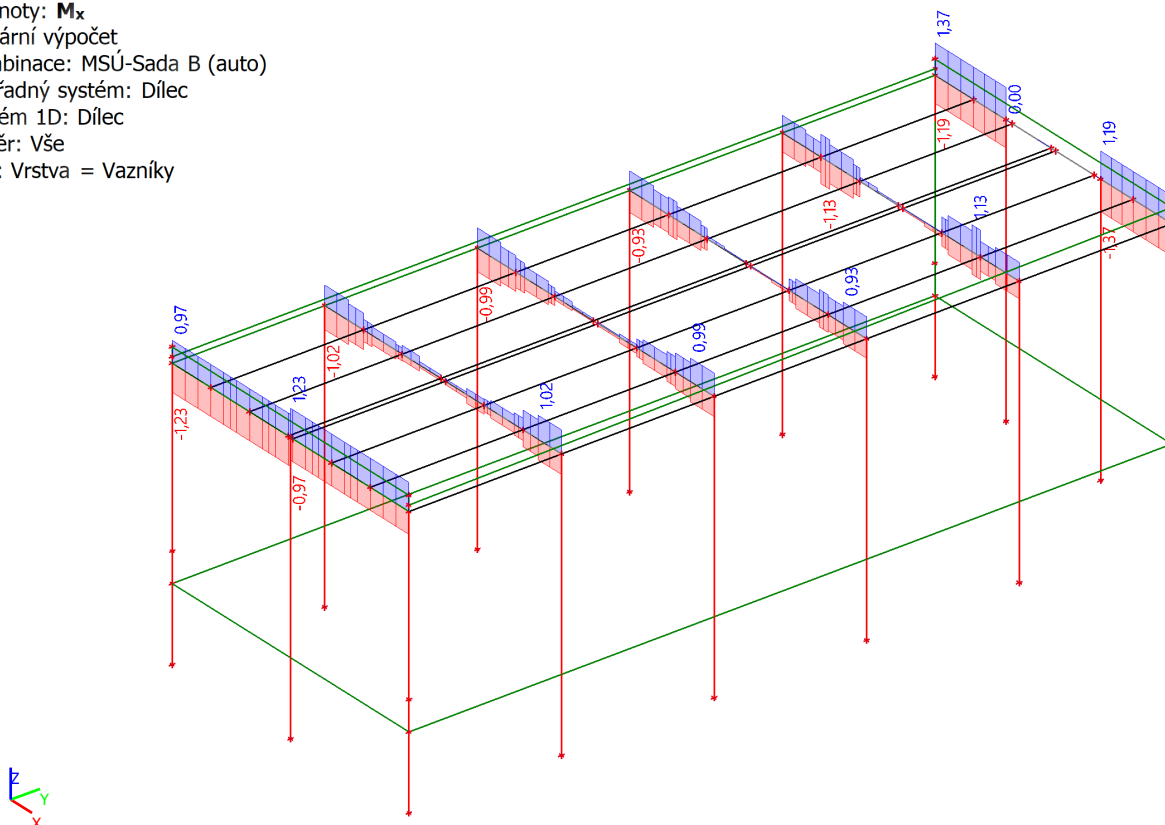
Kombinace: MSÚ-Sada B (auto)

Souřadný systém: Dílec

Extrém 1D: Dílec

Výběr: Vše

Filtr: Vrstva = Vazníky



8.5.1.2.5. Normálové síly [kN]; Posouvající síly [kN]; Ohybové momenty [kNm] - M_y

Hodnoty: M_y

Lineární výpočet

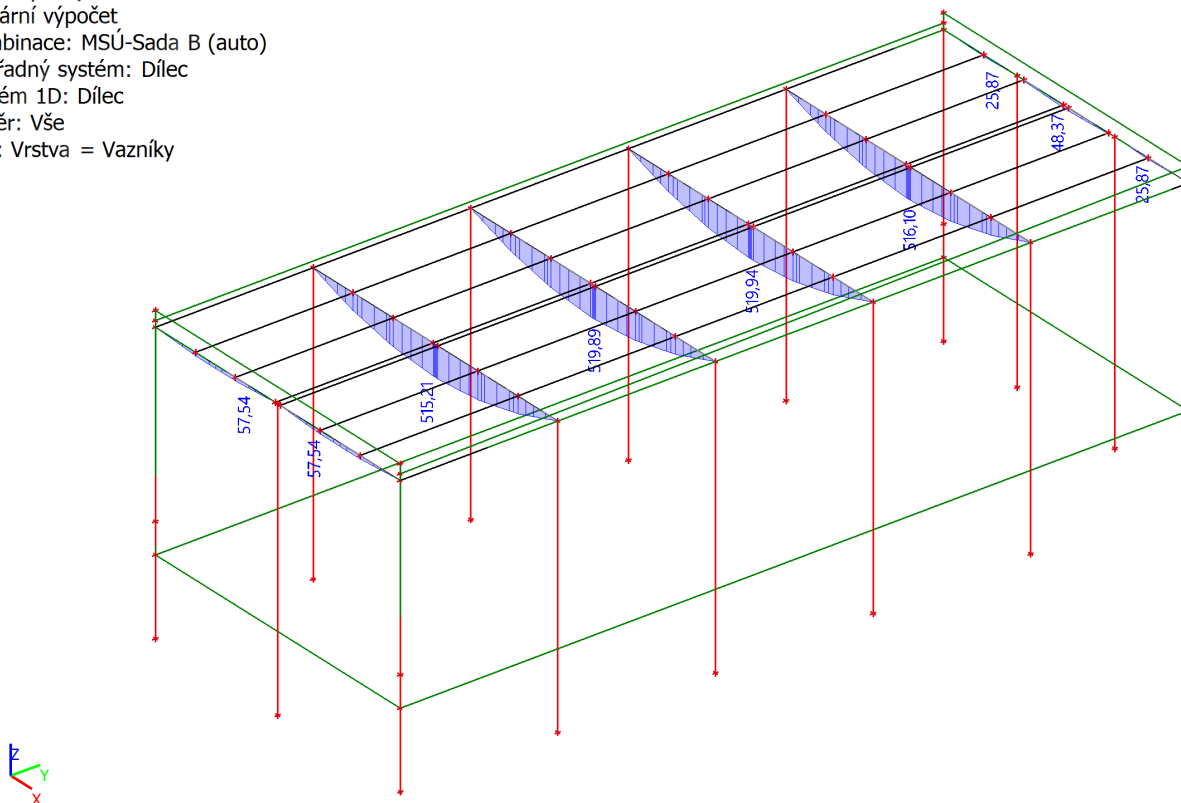
Kombinace: MSÚ-Sada B (auto)

Souřadný systém: Dílec

Extrém 1D: Dílec

Výběr: Vše

Filtr: Vrstva = Vazníky



8.5.1.2.6. Normálové síly [kN]; Posouvající síly [kN]; Ohybové momenty [kNm] - M_z

Hodnoty: M_z

Lineární výpočet

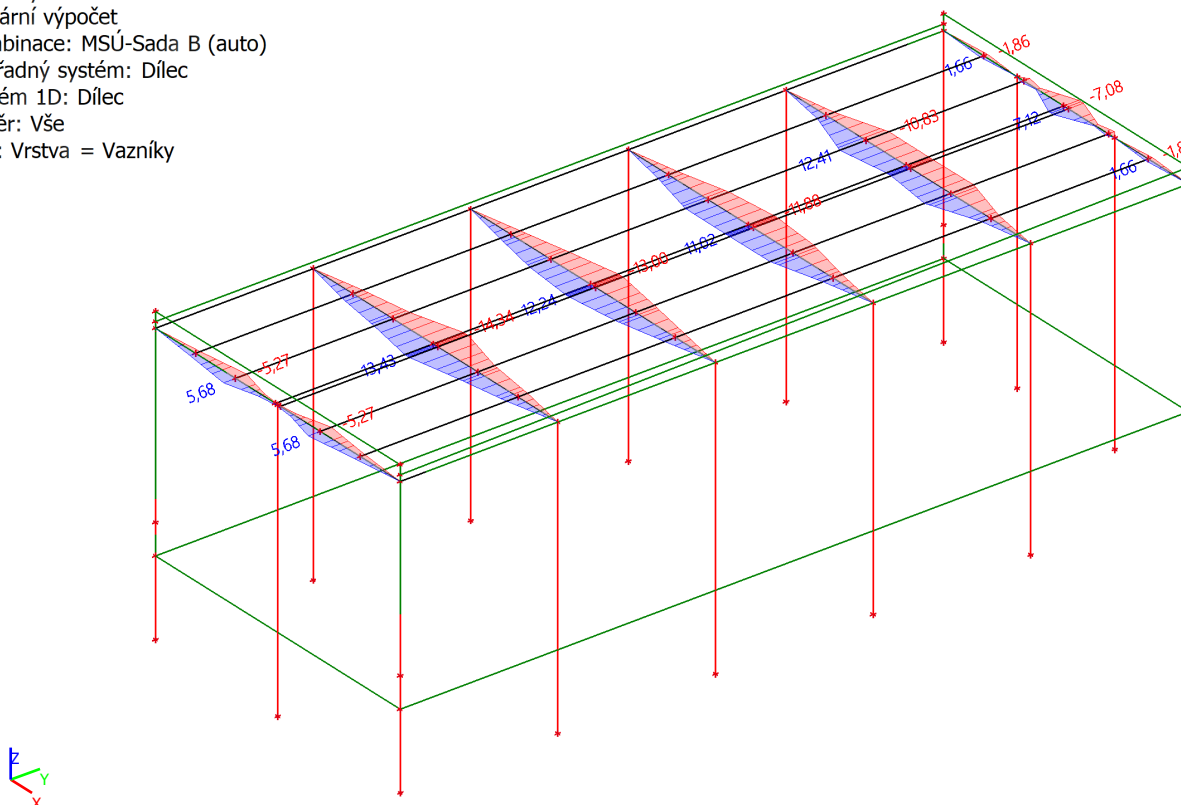
Kombinace: MSÚ-Sada B (auto)

Souřadný systém: Dílec

Extrém 1D: Dílec

Výběr: Vše

Filtr: Vrstva = Vazníky



8.5.1.3. Vykreslení výsledků - Ztužidla

Jméno	Pouze konstrukční model	Barva
Ztužidla	X	

8.5.1.3.1. Normálové síly [kN]; Posouvající síly [kN]; Ohybové momenty [kNm] - N

Hodnoty: **N**

Lineární výpočet

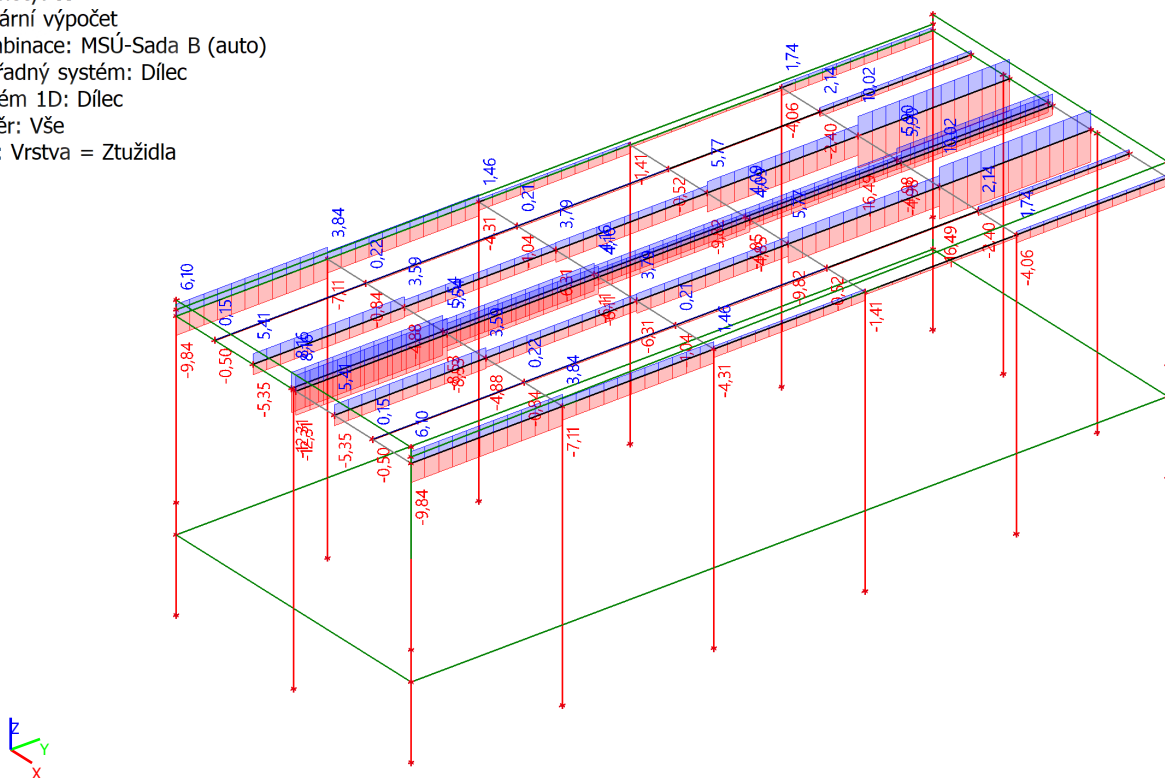
Kombinace: MSÚ-Sada B (auto)

Souřadný systém: Dílec

Extrém 1D: Dílec

Výběr: Vše

Filtr: Vrstva = Ztužidla



8.5.1.3.2. Normálové síly [kN]; Posouvající síly [kN]; Ohybové momenty [kNm] - V_y

Hodnoty: V_y

Lineární výpočet

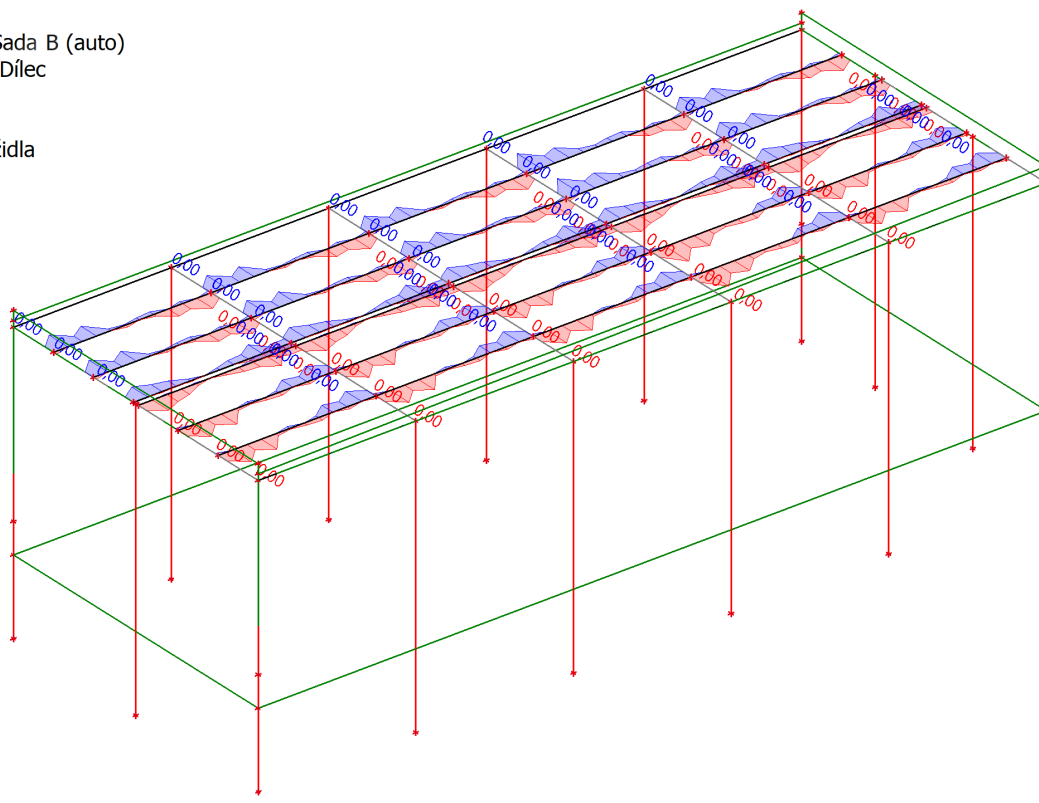
Kombinace: MSÚ-Sada B (auto)

Souřadný systém: Dílec

Extrém 1D: Dílec

Výběr: Vše

Filtr: Vrstva = Ztužidla



8.5.1.3.3. Normálové síly [kN]; Posouvající síly [kN]; Ohybové momenty [kNm] - V_z

Hodnoty: V_z

Lineární výpočet

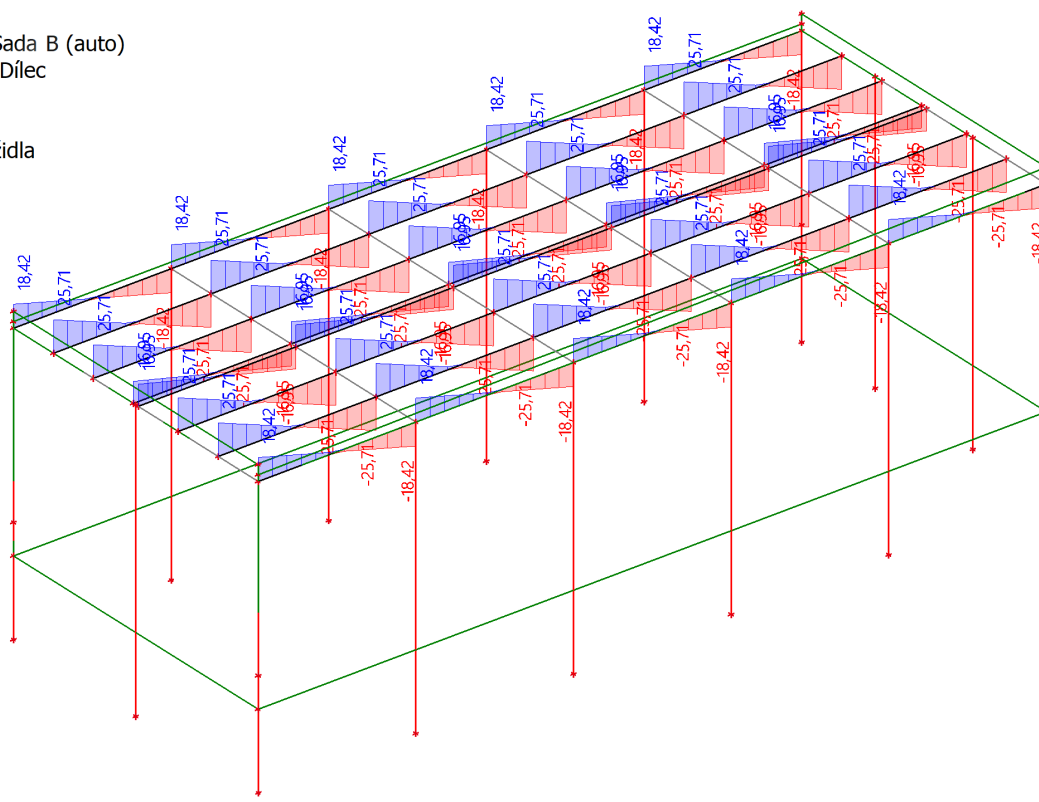
Kombinace: MSÚ-Sada B (auto)

Souřadný systém: Dílec

Extrém 1D: Dílec

Výběr: Vše

Filtr: Vrstva = Ztužidla



8.5.1.3.4. Normálové síly [kN]; Posouvající síly [kN]; Ohybové momenty [kNm] - M_x

Hodnoty: M_x

Lineární výpočet

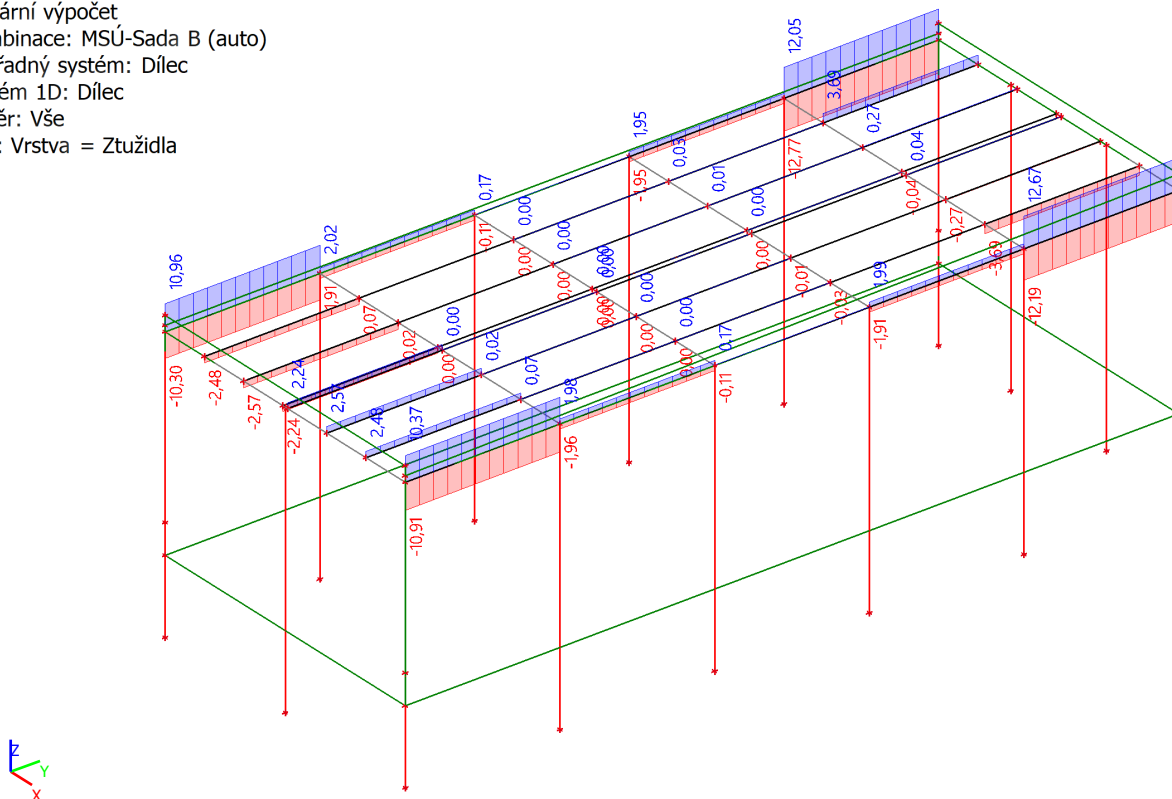
Kombinace: MSÚ-Sada B (auto)

Souřadný systém: Dílec

Extrém 1D: Dílec

Výběr: Vše

Filtr: Vrstva = Ztužidla



8.5.1.3.5. Normálové síly [kN]; Posouvající síly [kN]; Ohybové momenty [kNm] - M_y

Hodnoty: M_y

Lineární výpočet

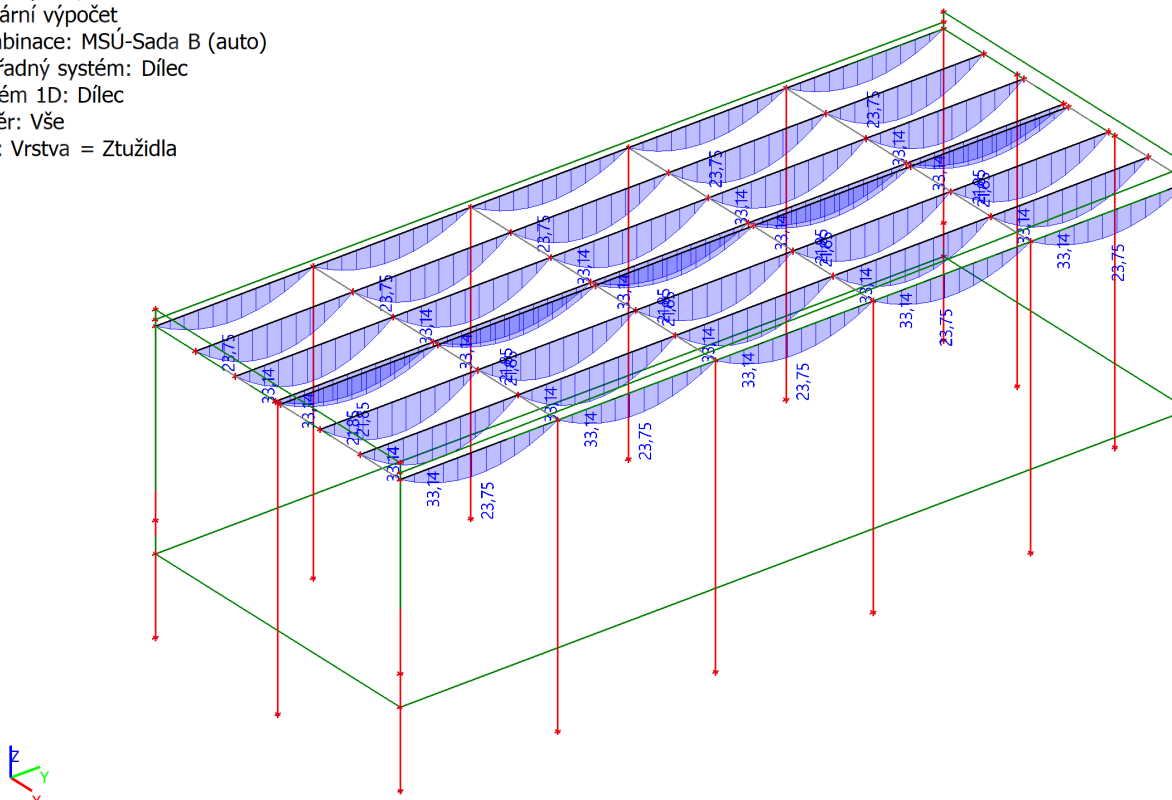
Kombinace: MSÚ-Sada B (auto)

Souřadný systém: Dílec

Extrém 1D: Dílec

Výběr: Vše

Filtr: Vrstva = Ztužidla



8.5.1.3.6. Normálové síly [kN]; Posouvající síly [kN]; Ohybové momenty [kNm] - M_z

Hodnoty: M_z

Lineární výpočet

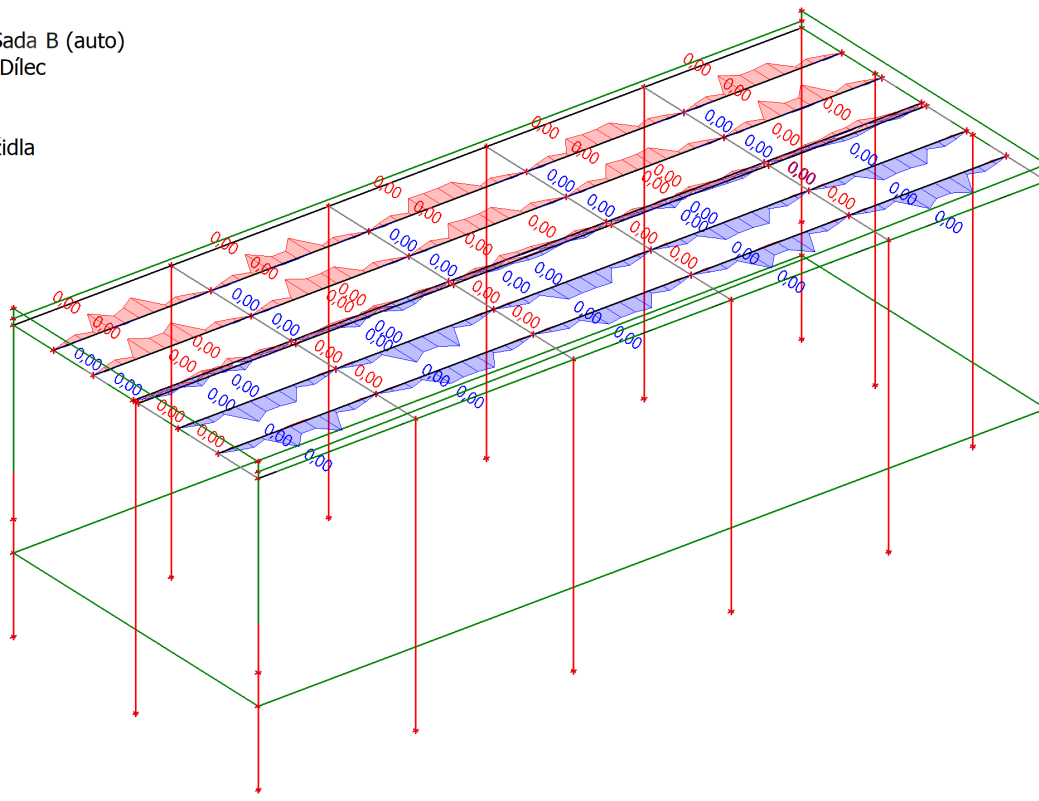
Kombinace: MSÚ-Sada B (auto)

Souřadný systém: Dílec

Extrém 1D: Dílec

Výběr: Vše

Filtr: Vrstva = Ztužidla



8.5.2. Tabulkové výsledky - průřezy

8.5.2.1. Tabulkové výsledky - průřezy - ZT 01

Jméno

ZT 01

8.5.2.1.1. 1D vnitřní síly

Lineární výpočet

Kombinace: MSÚ-Sada B (auto)

Souřadný systém: Dílec

Extrém 1D: Globální

Výběr: Vše

Filtr: Průřez = ZT 01 - Obdélník (500; 250)

Jméno	dx [m]	Stav	Průřez	N [kN]	V_y [kN]	V_z [kN]	M_x [kNm]	M_y [kNm]	M_z [kNm]
B127	0,000	MSÚ-Sada B (auto)/1	ZT 01 - Obdélník (500; 250)	-7,56	0,00	11,30	0,00	0,00	0,00
B127	0,000	MSÚ-Sada B (auto)/2	ZT 01 - Obdélník (500; 250)	3,66	0,00	18,35	0,00	0,00	0,00
B98	0,000	MSU-Sada B (auto)/3	ZT 01 - Obdélník (500; 250)	0,02	-10,59	29,28	0,00	0,00	0,00
B98	3,875+	MSÚ-Sada B (auto)/3	ZT 01 - Obdélník (500; 250)	0,02	10,59	-28,32	0,00	7,92	-2,91
B74	5,200	MSÚ-Sada B (auto)/4	ZT 01 - Obdélník (500; 250)	0,03	0,00	-52,38	0,00	0,00	0,00
B93	0,000	MSÚ-Sada B (auto)/4	ZT 01 - Obdélník	0,03	0,00	52,38	0,00	0,00	0,00

Jméno	dx [m]	Stav	Průřez	N [kN]	V _y [kN]	V _z [kN]	M _x [kNm]	M _y [kNm]	M _z [kNm]
			(500; 250)						
B127	0,000	MSÚ-Sada B (auto)/5	ZT 01 - Obdélník (500; 250)	0,02	-1,30	12,96	-1,37	0,00	0,00
B97	0,000	MSÚ-Sada B (auto)/5	ZT 01 - Obdélník (500; 250)	0,02	-1,09	10,48	1,37	0,00	0,00
B74	3,400+	MSÚ-Sada B (auto)/4	ZT 01 - Obdélník (500; 250)	0,03	0,00	-29,10	0,00	57,54	0,00
B98	1,975-	MSÚ-Sada B (auto)/5	ZT 01 - Obdélník (500; 250)	0,02	-4,98	9,89	0,00	29,94	-7,08
B98	1,975+	MSÚ-Sada B (auto)/3	ZT 01 - Obdélník (500; 250)	0,02	0,00	0,35	0,00	29,92	7,12

8.5.2.2. Tabulkové výsledky - průřezy - SI 1

Jméno
SI 1

8.5.2.2.1. 1D vnitřní síly

Lineární výpočet

Kombinace: MSÚ-Sada B (auto)

Souřadný systém: Dílec

Extrém 1D: Globální

Výběr: Vše

Filtr: Průřez = SI 1 - Obdélník (400; 500)

Jméno	dx [m]	Stav	Průřez	N [kN]	V _y [kN]	V _z [kN]	M _x [kNm]	M _y [kNm]	M _z [kNm]
B67	9,300	MSÚ-Sada B (auto)/1	SI 1 - Obdélník (400; 500)	-36,82	0,00	-5,22	0,00	0,00	0,00
B38	0,000	MSÚ-Sada B (auto)/2	SI 1 - Obdélník (400; 500)	-115,42	-34,42	0,00	0,00	0,00	153,23
B38	0,000	MSÚ-Sada B (auto)/1	SI 1 - Obdélník (400; 500)	-100,58	0,00	-6,12	0,00	56,88	0,00
B38	0,000	MSÚ-Sada B (auto)/3	SI 1 - Obdélník (400; 500)	-164,97	0,00	0,00	0,00	0,00	0,00
B38	0,000	MSÚ-Sada B (auto)/4	SI 1 - Obdélník (400; 500)	-115,42	0,00	6,11	0,00	-56,81	0,00
B38	0,000	MSÚ-Sada B (auto)/5	SI 1 - Obdélník (400; 500)	-115,42	27,34	0,00	0,00	0,00	-135,82

8.5.2.3. Tabulkové výsledky - průřezy - VA 01

Jméno
VA 01

8.5.2.3.1. 1D vnitřní síly

Lineární výpočet

Kombinace: MSÚ-Sada B (auto)

Souřadný systém: Dílec

Extrém 1D: Globální

Výběr: Vše

Filtr: Průřez = VA 01 - T g (1300; 400; 180; 170)

Jméno	dx [m]	Stav	Průřez	N [kN]	V _y [kN]	V _z [kN]	M _x [kNm]	M _y [kNm]	M _z [kNm]
B187	0,000	MSÚ-Sada B (auto)/1	VA 01 - T g (1300; 400; 180; 170)	-5,13	0,00	146,31	0,00	0,00	0,00
B183	0,000	MSÚ-Sada B (auto)/2	VA 01 - T g (1300; 400; 180; 170)	-0,12	0,00	86,11	0,00	0,00	0,00
B182	10,400	MSÚ-Sada B (auto)/3	VA 01 - T g (1300; 400; 180; 170)	-0,25	0,00	-166,79	0,00	0,00	0,00
B182	0,000	MSÚ-Sada B (auto)/3	VA 01 - T g (1300; 400; 180; 170)	-0,25	0,00	166,79	0,00	0,00	0,00
B187	1,700+	MSÚ-Sada B (auto)/4	VA 01 - T g (1300; 400; 180; 170)	-0,15	4,86	65,98	-1,13	159,24	4,14
B187	8,320+	MSÚ-Sada B (auto)/4	VA 01 - T g (1300; 400; 180; 170)	-0,15	-4,86	-63,97	1,13	183,93	5,99
B183	5,200-	MSÚ-Sada B (auto)/3	VA 01 - T g (1300; 400; 180; 170)	-0,23	0,00	0,00	0,00	519,94	0,00
B182	5,100-	MSÚ-Sada B (auto)/5	VA 01 - T g (1300; 400; 180; 170)	-0,15	-3,78	19,81	0,15	306,43	-14,34
B182	5,100+	MSÚ-Sada B (auto)/4	VA 01 - T g (1300; 400; 180; 170)	-0,15	0,00	0,74	0,00	305,10	13,43

8.5.2.4. Tabulkové výsledky - průřezy - SL 3

Jméno
SL 3

8.5.2.4.1. 1D vnitřní síly

Lineární výpočet

Kombinace: MSÚ-Sada B (auto)

Souřadný systém: Dílec

Extrém 1D: Globální

Výběr: Vše

Filtr: Průřez = SL 3 - Obdélník (500; 400)

Jméno	dx [m]	Stav	Průřez	N [kN]	V _y [kN]	V _z [kN]	M _x [kNm]	M _y [kNm]	M _z [kNm]
B37	0,000	MSÚ-Sada B (auto)/1	SL 3 - Obdélník (500; 400)	-262,31	0,00	-0,25	0,00	2,03	0,00
B66	9,300	MSÚ-Sada B (auto)/2	SL 3 - Obdélník (500; 400)	-19,34	0,00	0,02	0,00	0,11	0,00
B36	0,000	MSÚ-Sada B (auto)/3	SL 3 - Obdélník (500; 400)	-85,24	-17,37	0,02	0,00	-0,06	80,07
B188	0,000	MSÚ-Sada B (auto)/4	SL 3 - Obdélník (500; 400)	-152,13	0,00	-46,35	0,00	257,64	0,00
B54	0,000	MSÚ-Sada B (auto)/5	SL 3 - Obdélník (500; 400)	-152,13	0,00	46,12	0,00	-255,56	0,00
B51	0,000	MSÚ-Sada B (auto)/5	SL 3 - Obdélník (500; 400)	-152,13	0,00	46,01	0,00	-262,58	0,00
B185	0,000	MSÚ-Sada B (auto)/4	SL 3 - Obdélník (500; 400)	-152,13	0,00	-46,18	0,00	264,23	0,00
B36	0,000	MSÚ-Sada B (auto)/6	SL 3 - Obdélník (500; 400)	-85,24	13,72	0,02	0,00	-0,06	-70,82

8.5.2.5. Tabulkové výsledky - průřezy - VS 2

Jméno
VS 2

8.5.2.5.1. 1D vnitřní síly

Lineární výpočet

Kombinace: MSÚ-Sada B (auto)

Souřadný systém: Dílec

Extrém 1D: Globální

Výběr: Vše

Filtr: Průřez = VS 2 - Obdélník (400; 200)

Jméno	dx [m]	Stav	Průřez	N [kN]	V _y [kN]	V _z [kN]	M _x [kNm]	M _y [kNm]	M _z [kNm]
B198	0,000	MSÚ-Sada B (auto)/1	VS 2 - Obdélník (400; 200)	-16,49	0,00	12,45	0,13	0,00	0,00
B198	0,000	MSÚ-Sada B (auto)/2	VS 2 - Obdélník (400; 200)	10,02	0,00	12,45	0,13	0,00	0,00
B209	0,473	MSÚ-Sada B (auto)/3	VS 2 - Obdélník (400; 200)	0,00	0,00	21,03	-0,01	11,05	0,00
B158	0,473	MSÚ-Sada B (auto)/3	VS 2 - Obdélník (400; 200)	0,00	0,00	21,03	0,03	11,05	0,00
B155	5,200	MSÚ-Sada B (auto)/3	VS 2 - Obdélník (400; 200)	0,00	0,00	-25,71	-2,48	0,00	0,00
B155	0,000	MSÚ-Sada B (auto)/3	VS 2 - Obdélník (400; 200)	0,00	0,00	25,71	-2,48	0,00	0,00
B213	0,473	MSÚ-Sada B (auto)/3	VS 2 - Obdélník (400; 200)	0,00	0,00	21,03	-3,69	11,05	0,00
B200	0,473	MSÚ-Sada B (auto)/3	VS 2 - Obdélník (400; 200)	0,00	0,00	21,03	3,69	11,05	0,00
B155	2,364	MSÚ-Sada B (auto)/3	VS 2 - Obdélník (400; 200)	0,00	0,00	2,34	-2,48	33,14	0,00
B155	3,309	MSÚ-Sada B (auto)/3	VS 2 - Obdélník (400; 200)	0,00	0,00	-7,01	-2,48	30,93	0,00
B180	3,309	MSÚ-Sada B (auto)/3	VS 2 - Obdélník (400; 200)	0,00	0,00	-7,01	2,48	30,93	0,00

8.5.2.6. Tabulkové výsledky - průřezy - ZT 2

Jméno
ZT 2

8.5.2.6.1. 1D vnitřní síly

Lineární výpočet

Kombinace: MSÚ-Sada B (auto)

Souřadný systém: Dílec

Extrém 1D: Globální

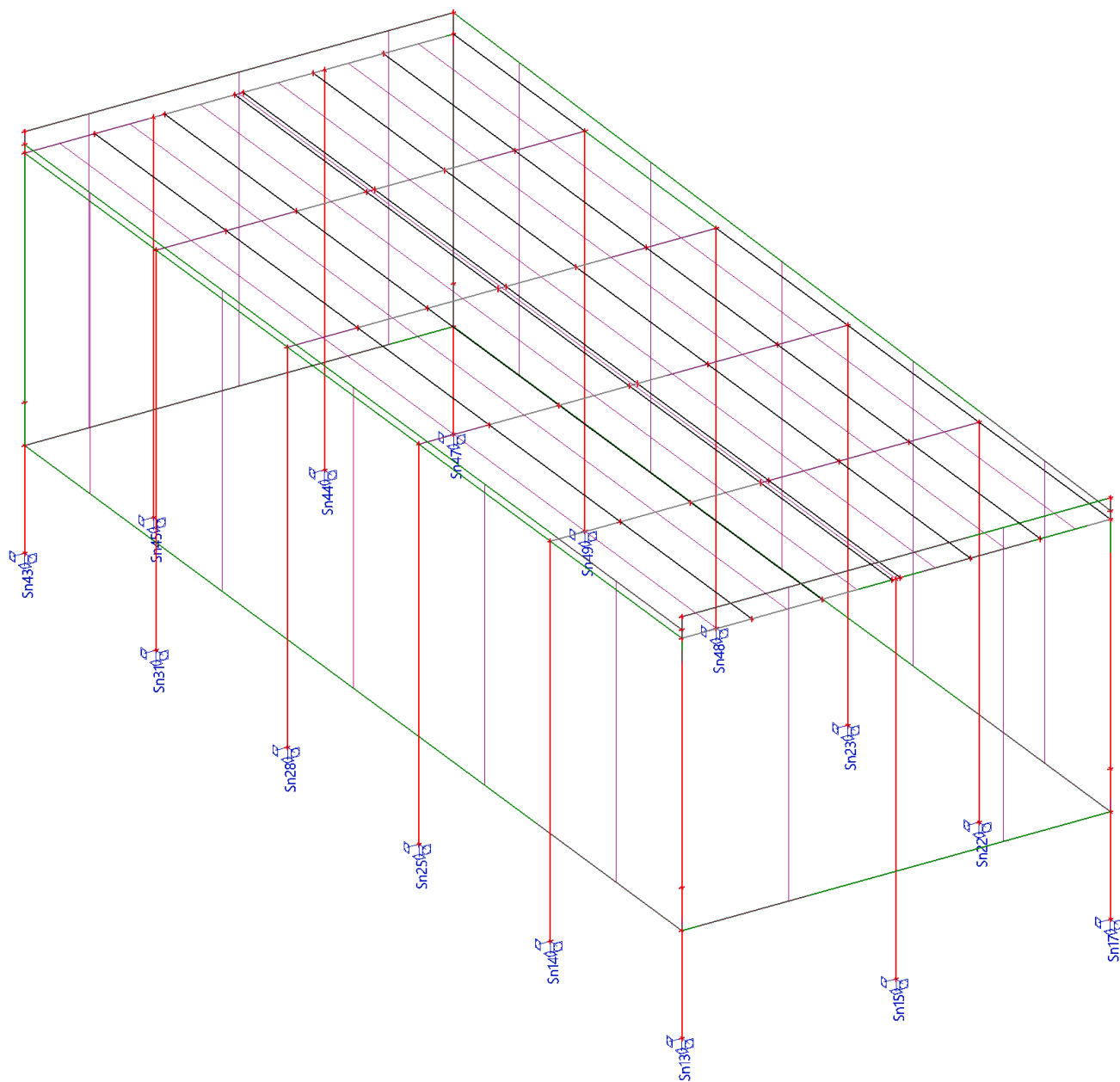
Výběr: Vše

Filtr: Průřez = ZT 2 - Obdélník (500; 230)

Jméno	dx [m]	Stav	Průřez	N [kN]	V _y [kN]	V _z [kN]	M _x [kNm]	M _y [kNm]	M _z [kNm]
B111	0,000	MSÚ-Sada B (auto)/1	ZT 2 - Obdélník (500; 230)	6,10	0,00	11,71	0,13	0,00	0,00
B111	5,200	MSÚ-Sada B (auto)/2	ZT 2 - Obdélník (500; 230)	0,00	0,00	-18,42	0,21	0,00	0,00
B111	0,000	MSÚ-Sada B (auto)/2	ZT 2 - Obdélník (500; 230)	0,00	0,00	18,42	0,21	0,00	0,00
B129	0,000	MSÚ-Sada B (auto)/3	ZT 2 - Obdélník (500; 230)	0,00	0,00	16,35	-12,77	0,00	0,00
B190	0,000	MSÚ-Sada B (auto)/4	ZT 2 - Obdélník (500; 230)	0,00	0,00	16,35	12,67	0,00	0,00
B111	2,836	MSÚ-Sada B (auto)/2	ZT 2 - Obdélník (500; 230)	0,00	0,00	-1,67	0,21	23,75	0,00
B111	0,000	MSÚ-Sada B (auto)/5	ZT 2 - Obdélník (500; 230)	-9,84	0,00	11,71	0,13	0,00	0,00

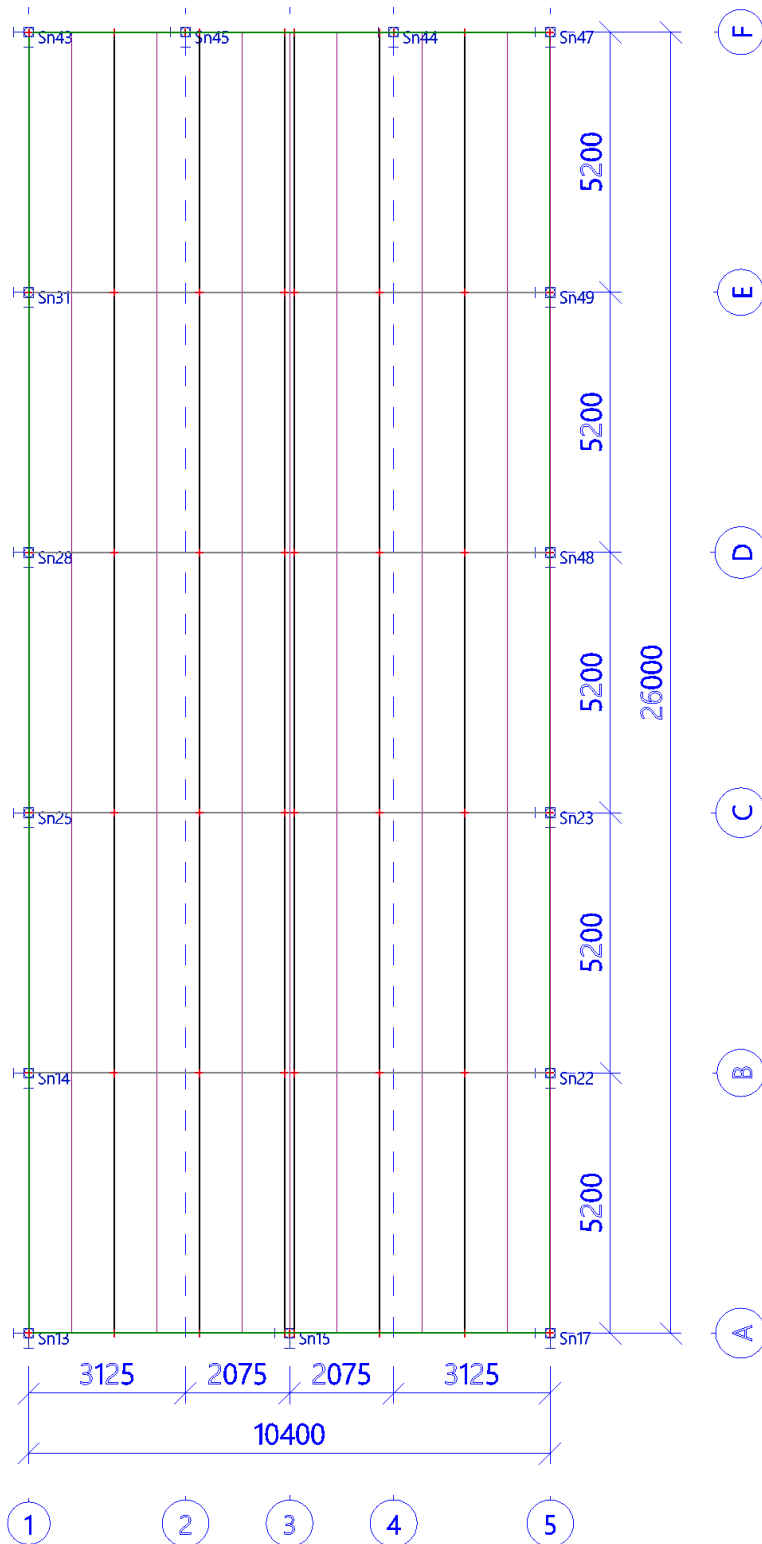
8.6. Reakce

8.6.1. Výpočtový model - celkový podled - popis podpor



8.6.2. Výpočtový model - celkový podled půdorys - popis podpor

a



8.6.3. REAKCE MSU

8.6.3.1. Reakce

Lineární výpočet

Kombinace: MSÚ-Sada B (auto)

Systém: Globální

Extrém: Dílec

Výběr: Vše

Uzlové reakce

Jméno	Stav	R _x [kN]	R _y [kN]	R _z [kN]	M _x [kNm]	M _y [kNm]	M _z [kNm]	e _x [mm]	e _y [mm]
Sn13/N34	MSÚ-Sada B (auto)/1	-0,02	-17,37	85,24	80,07	-0,06	0,00	939,3	-0,7
Sn13/N34	MSÚ-Sada B (auto)/2	-0,02	0,00	74,29	0,00	-0,06	0,00	0,0	-0,7
Sn13/N34	MSÚ-Sada B (auto)/3	9,75	0,00	114,09	0,00	62,67	0,00	0,0	549,3
Sn13/N34	MSÚ-Sada B (auto)/4	-0,02	13,72	85,24	-70,82	-0,06	0,00	-830,9	-0,7
Sn13/N34	MSÚ-Sada B (auto)/5	16,29	0,00	74,29	0,00	104,57	0,00	0,0	1407,6
Sn13/N34	MSÚ-Sada B (auto)/6	-19,97	0,00	99,04	0,00	-113,72	0,00	0,0	-1148,2
Sn14/N36	MSÚ-Sada B (auto)/1	0,15	-5,41	174,70	50,30	1,22	0,00	287,9	7,0
Sn14/N36	MSÚ-Sada B (auto)/7	0,25	0,00	262,31	0,00	2,03	0,00	0,0	7,7
Sn14/N36	MSÚ-Sada B (auto)/4	0,15	5,39	174,70	-50,16	1,22	0,00	-287,1	7,0
Sn14/N36	MSÚ-Sada B (auto)/8	39,42	0,00	231,48	0,00	240,56	0,00	0,0	1039,2
Sn14/N36	MSÚ-Sada B (auto)/9	-45,67	0,00	152,24	0,00	-253,22	0,00	0,0	-1663,3
Sn15/N38	MSÚ-Sada B (auto)/1	0,00	-34,42	115,42	153,23	0,00	0,00	1327,6	0,0
Sn15/N38	MSÚ-Sada B (auto)/5	6,12	0,00	100,58	0,00	56,88	0,00	0,0	565,5
Sn15/N38	MSÚ-Sada B (auto)/7	0,00	0,00	164,97	0,00	0,00	0,00	0,0	0,0
Sn15/N38	MSÚ-Sada B (auto)/4	0,00	27,34	115,42	-135,82	0,00	0,00	-1176,8	0,0
Sn15/N38	MSÚ-Sada B (auto)/10	-6,11	0,00	115,42	0,00	-56,81	0,00	0,0	-492,2
Sn17/N42	MSÚ-Sada B (auto)/1	0,02	-17,37	85,24	80,07	0,06	0,00	939,3	0,7
Sn17/N42	MSÚ-Sada B (auto)/2	0,02	0,00	74,29	0,00	0,06	0,00	0,0	0,7
Sn17/N42	MSÚ-Sada B (auto)/3	12,00	0,00	114,09	0,00	68,34	0,00	0,0	599,0
Sn17/N42	MSÚ-Sada B (auto)/4	0,02	13,72	85,24	-70,82	0,06	0,00	-830,9	0,7
Sn17/N42	MSÚ-Sada B (auto)/8	19,97	0,00	99,05	0,00	113,81	0,00	0,0	1149,1
Sn17/N42	MSÚ-Sada B (auto)/9	-16,29	0,00	74,29	0,00	-104,48	0,00	0,0	-1406,4
Sn22/N52	MSÚ-Sada B (auto)/1	-0,15	-5,41	174,70	50,30	-1,22	0,00	287,9	-7,0
Sn22/N52	MSÚ-Sada B (auto)/5	45,73	0,00	152,24	0,00	253,79	0,00	0,0	1667,0
Sn22/N52	MSÚ-Sada B (auto)/7	-0,25	0,00	262,31	0,00	-2,03	0,00	0,0	-7,7
Sn22/N52	MSÚ-Sada B (auto)/4	-0,15	5,39	174,70	-50,16	-1,22	0,00	-287,1	-7,0
Sn22/N52	MSÚ-Sada B (auto)/6	-39,35	0,00	231,48	0,00	-239,96	0,00	0,0	-1036,6
Sn23/N54	MSÚ-Sada B (auto)/1	-0,14	-5,40	174,57	50,27	-1,21	0,00	287,9	-6,9
Sn23/N54	MSÚ-Sada B	45,97	0,00	152,13	0,00	262,58	0,00	0,0	1726,0

Jméno	Stav	R _x [kN]	R _y [kN]	R _z [kN]	M _x [kNm]	M _y [kNm]	M _z [kNm]	e _x [mm]	e _y [mm]
	(auto)/5								
Sn23/N54	MSÚ-Sada B (auto)/7	-0,23	0,00	262,17	0,00	-2,01	0,00	0,0	-7,7
Sn23/N54	MSÚ-Sada B (auto)/4	-0,14	5,39	174,57	-50,14	-1,21	0,00	-287,2	-6,9
Sn23/N54	MSÚ-Sada B (auto)/6	-39,46	0,00	231,36	0,00	-248,06	0,00	0,0	-1072,2
Sn25/N58	MSÚ-Sada B (auto)/1	0,14	-5,40	174,57	50,27	1,21	0,00	287,9	6,9
Sn25/N58	MSÚ-Sada B (auto)/7	0,23	0,00	262,17	0,00	2,01	0,00	0,0	7,7
Sn25/N58	MSÚ-Sada B (auto)/4	0,14	5,39	174,57	-50,14	1,21	0,00	-287,2	6,9
Sn25/N58	MSÚ-Sada B (auto)/8	39,60	0,00	231,36	0,00	249,24	0,00	0,0	1077,3
Sn25/N58	MSÚ-Sada B (auto)/9	-45,85	0,00	152,13	0,00	-261,47	0,00	0,0	-1718,6
Sn28/N64	MSÚ-Sada B (auto)/1	0,14	-5,40	174,57	50,25	1,21	0,00	287,8	6,9
Sn28/N64	MSÚ-Sada B (auto)/7	0,23	0,00	262,17	0,00	2,01	0,00	0,0	7,7
Sn28/N64	MSÚ-Sada B (auto)/4	0,14	5,39	174,57	-50,14	1,21	0,00	-287,2	6,9
Sn28/N64	MSÚ-Sada B (auto)/8	39,81	0,00	231,36	0,00	250,90	0,00	0,0	1084,5
Sn28/N64	MSÚ-Sada B (auto)/9	-46,01	0,00	152,13	0,00	-262,58	0,00	0,0	-1726,0
Sn31/N70	MSÚ-Sada B (auto)/1	0,15	-5,40	174,57	50,24	1,26	0,00	287,8	7,2
Sn31/N70	MSÚ-Sada B (auto)/7	0,26	0,00	262,17	0,00	2,09	0,00	0,0	8,0
Sn31/N70	MSÚ-Sada B (auto)/4	0,15	5,39	174,57	-50,14	1,26	0,00	-287,2	7,2
Sn31/N70	MSÚ-Sada B (auto)/8	40,08	0,00	231,36	0,00	244,56	0,00	0,0	1057,0
Sn31/N70	MSÚ-Sada B (auto)/9	-46,12	0,00	152,13	0,00	-255,56	0,00	0,0	-1679,8
Sn43/N94	MSÚ-Sada B (auto)/1	-0,02	-10,30	74,53	62,34	-0,07	0,00	836,4	-0,9
Sn43/N94	MSÚ-Sada B (auto)/2	-0,02	0,00	64,95	0,00	-0,06	0,00	0,0	-0,9
Sn43/N94	MSÚ-Sada B (auto)/3	8,73	0,00	96,22	0,00	54,29	0,00	0,0	564,2
Sn43/N94	MSÚ-Sada B (auto)/4	-0,02	12,48	74,53	-67,73	-0,07	0,00	-908,7	-0,9
Sn43/N94	MSÚ-Sada B (auto)/5	14,60	0,00	64,95	0,00	90,60	0,00	0,0	1394,9
Sn43/N94	MSÚ-Sada B (auto)/6	-18,20	0,00	83,07	0,00	-98,98	0,00	0,0	-1191,5
Sn44/N96	MSÚ-Sada B (auto)/1	0,00	-21,76	94,59	119,82	0,00	0,00	1266,7	0,0
Sn44/N96	MSÚ-Sada B (auto)/5	5,22	0,00	82,43	0,00	48,52	0,00	0,0	588,6
Sn44/N96	MSÚ-Sada B (auto)/7	0,00	0,00	131,14	0,00	0,00	0,00	0,0	0,0
Sn44/N96	MSÚ-Sada B (auto)/4	0,00	26,82	94,59	-132,85	0,00	0,00	-1404,5	0,0
Sn44/N96	MSÚ-Sada B (auto)/6	-5,15	0,00	114,45	0,00	-47,92	0,00	0,0	-418,7
Sn45/N98	MSÚ-Sada B (auto)/1	0,00	-21,76	94,59	119,82	0,00	0,00	1266,7	0,0
Sn45/N98	MSÚ-Sada B (auto)/5	5,22	0,00	82,43	0,00	48,51	0,00	0,0	588,5
Sn45/N98	MSÚ-Sada B (auto)/7	0,00	0,00	131,14	0,00	0,00	0,00	0,0	0,0
Sn45/N98	MSÚ-Sada B (auto)/4	0,00	26,82	94,59	-132,85	0,00	0,00	-1404,5	0,0

Jméno	Stav	R _x [kN]	R _y [kN]	R _z [kN]	M _x [kNm]	M _y [kNm]	M _z [kNm]	e _x [mm]	e _y [mm]
Sn45/N98	MSÚ-Sada B (auto)/8	5,22	0,00	114,45	0,00	48,51	0,00	0,0	423,9
Sn45/N98	MSÚ-Sada B (auto)/9	-5,15	0,00	82,43	0,00	-47,92	0,00	0,0	-581,3
Sn47/N184	MSÚ-Sada B (auto)/1	0,02	-10,30	74,53	62,34	0,07	0,00	836,4	0,9
Sn47/N184	MSÚ-Sada B (auto)/2	0,02	0,00	64,95	0,00	0,06	0,00	0,0	0,9
Sn47/N184	MSÚ-Sada B (auto)/3	11,00	0,00	96,22	0,00	60,02	0,00	0,0	623,8
Sn47/N184	MSÚ-Sada B (auto)/4	0,02	12,48	74,53	-67,73	0,07	0,00	-908,7	0,9
Sn47/N184	MSÚ-Sada B (auto)/8	18,31	0,00	83,07	0,00	99,96	0,00	0,0	1203,3
Sn47/N184	MSÚ-Sada B (auto)/9	-14,54	0,00	64,95	0,00	-89,81	0,00	0,0	-1382,6
Sn48/N1	MSÚ-Sada B (auto)/1	-0,14	-5,40	174,57	50,25	-1,21	0,00	287,8	-6,9
Sn48/N1	MSÚ-Sada B (auto)/5	46,18	0,00	152,13	0,00	264,23	0,00	0,0	1736,8
Sn48/N1	MSÚ-Sada B (auto)/7	-0,23	0,00	262,17	0,00	-2,01	0,00	0,0	-7,7
Sn48/N1	MSÚ-Sada B (auto)/4	-0,14	5,39	174,57	-50,14	-1,21	0,00	-287,2	-6,9
Sn48/N1	MSÚ-Sada B (auto)/6	-39,61	0,00	231,36	0,00	-249,16	0,00	0,0	-1077,0
Sn49/N253	MSÚ-Sada B (auto)/1	-0,15	-5,40	174,57	50,24	-1,26	0,00	287,8	-7,2
Sn49/N253	MSÚ-Sada B (auto)/5	46,35	0,00	152,13	0,00	257,64	0,00	0,0	1693,5
Sn49/N253	MSÚ-Sada B (auto)/7	-0,26	0,00	262,17	0,00	-2,09	0,00	0,0	-8,0
Sn49/N253	MSÚ-Sada B (auto)/4	-0,15	5,39	174,57	-50,14	-1,26	0,00	-287,2	-7,2
Sn49/N253	MSÚ-Sada B (auto)/6	-39,80	0,00	231,36	0,00	-242,37	0,00	0,0	-1047,6

Jméno	Klíč kombinace
MSÚ-Sada B (auto)/1	1.15*G0 + 1.15*G2 + 1.50*Q2.3 + 1.15*G1
MSÚ-Sada B (auto)/2	G0 + G2 + G1
MSÚ-Sada B (auto)/3	1.35*G0 + 1.35*G2 + 0.90*Q2.1 + 1.05*Q3 + 1.35*G1
MSÚ-Sada B (auto)/4	1.15*G0 + 1.15*G2 + 1.50*Q2.4 + 1.15*G1
MSÚ-Sada B (auto)/5	G0 + G2 + 1.50*Q2.1 + G1
MSÚ-Sada B (auto)/6	1.15*G0 + 1.15*G2 + 1.50*Q2.2 + 1.05*Q3 + 1.15*G1
MSÚ-Sada B (auto)/7	1.35*G0 + 1.35*G2 + 1.05*Q3 + 1.35*G1
MSÚ-Sada B (auto)/8	1.15*G0 + 1.15*G2 + 1.50*Q2.1 + 1.05*Q3 + 1.15*G1
MSÚ-Sada B (auto)/9	G0 + G2 + 1.50*Q2.2 + G1
MSÚ-Sada B (auto)/10	1.15*G0 + 1.15*G2 + 1.50*Q2.2 + 1.15*G1

8.6.3.2. Reakce [kN ,kNm] - R_x

Hodnoty: R_x

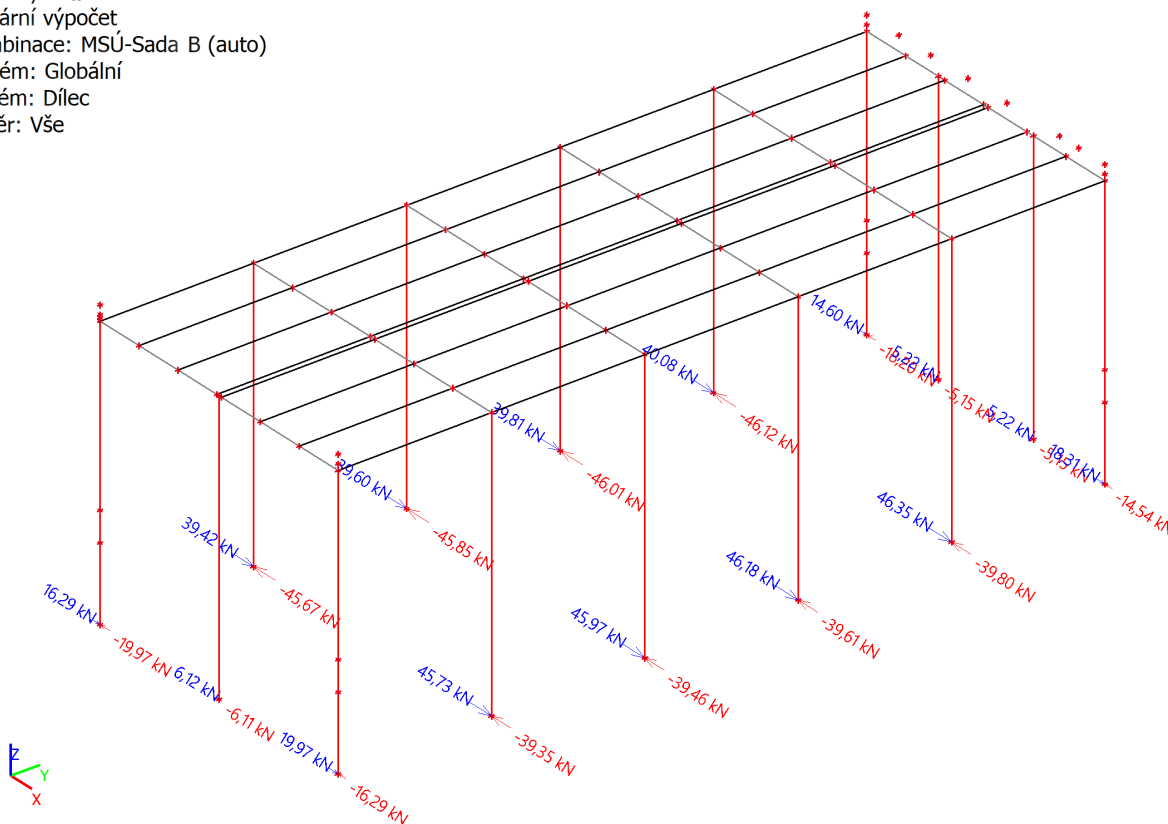
Lineární výpočet

Kombinace: MSÚ-Sada B (auto)

Systém: Globální

Extrém: Dílec

Výběr: Vše



8.6.3.3. Reakce [kN ,kNm] - R_y

Hodnoty: R_y

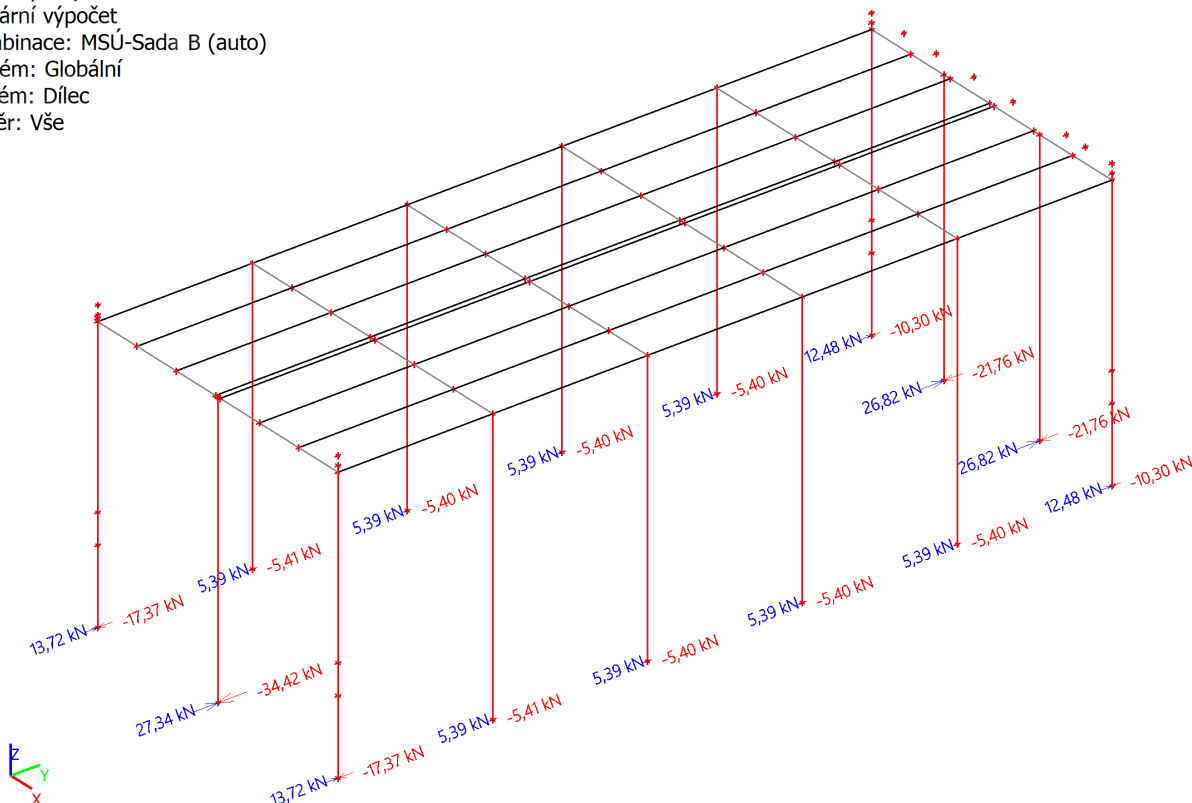
Lineární výpočet

Kombinace: MSÚ-Sada B (auto)

Systém: Globální

Extrém: Dílec

Výběr: Vše



8.6.3.4. Reakce [kN ,kNm] - R_z

Hodnoty: **R_z**

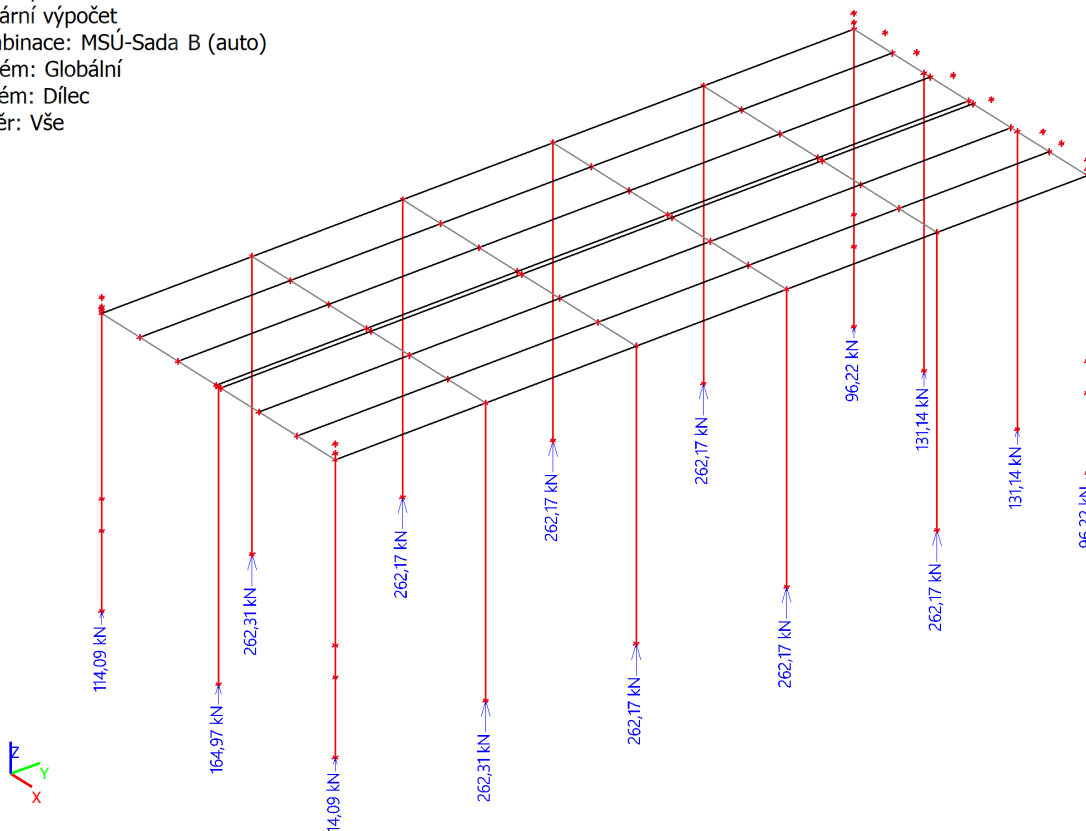
Lineární výpočet

Kombinace: MSÚ-Sada B (auto)

Systém: Globální

Extrém: Dílec

Výběr: Vše



8.6.3.5. Reakce [kN ,kNm] - M_x

Hodnoty: **M_x**

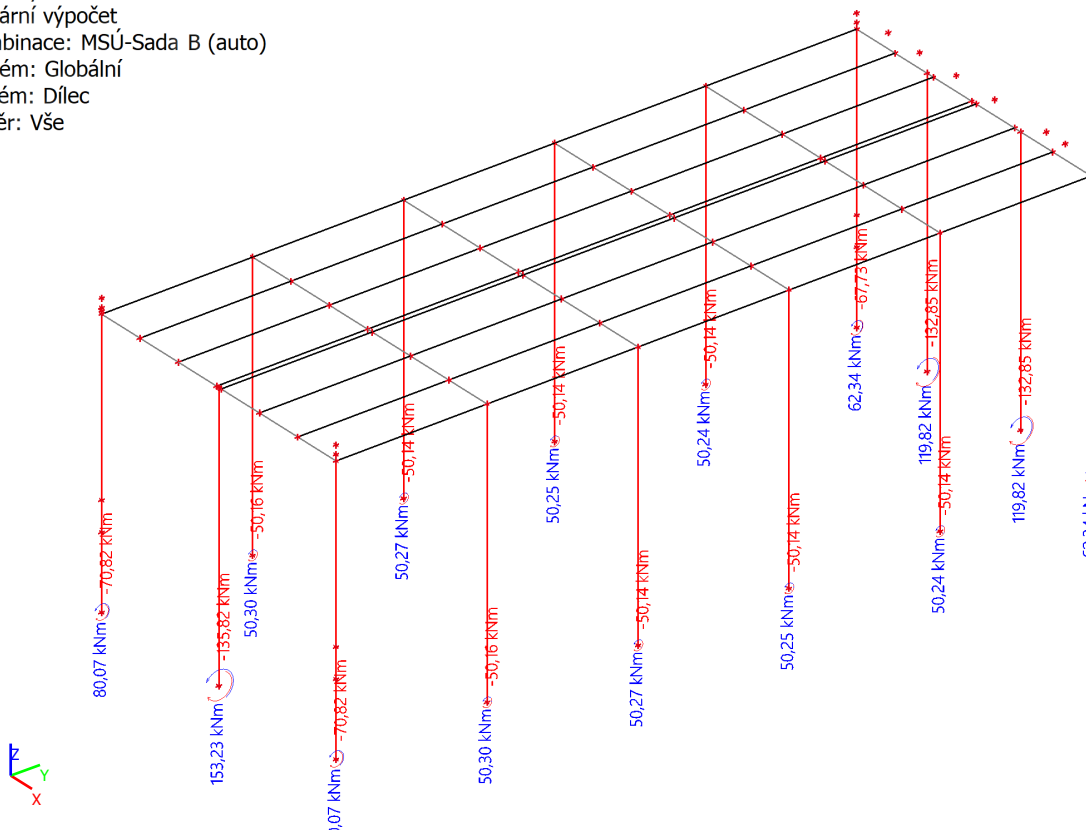
Lineární výpočet

Kombinace: MSÚ-Sada B (auto)

Systém: Globální

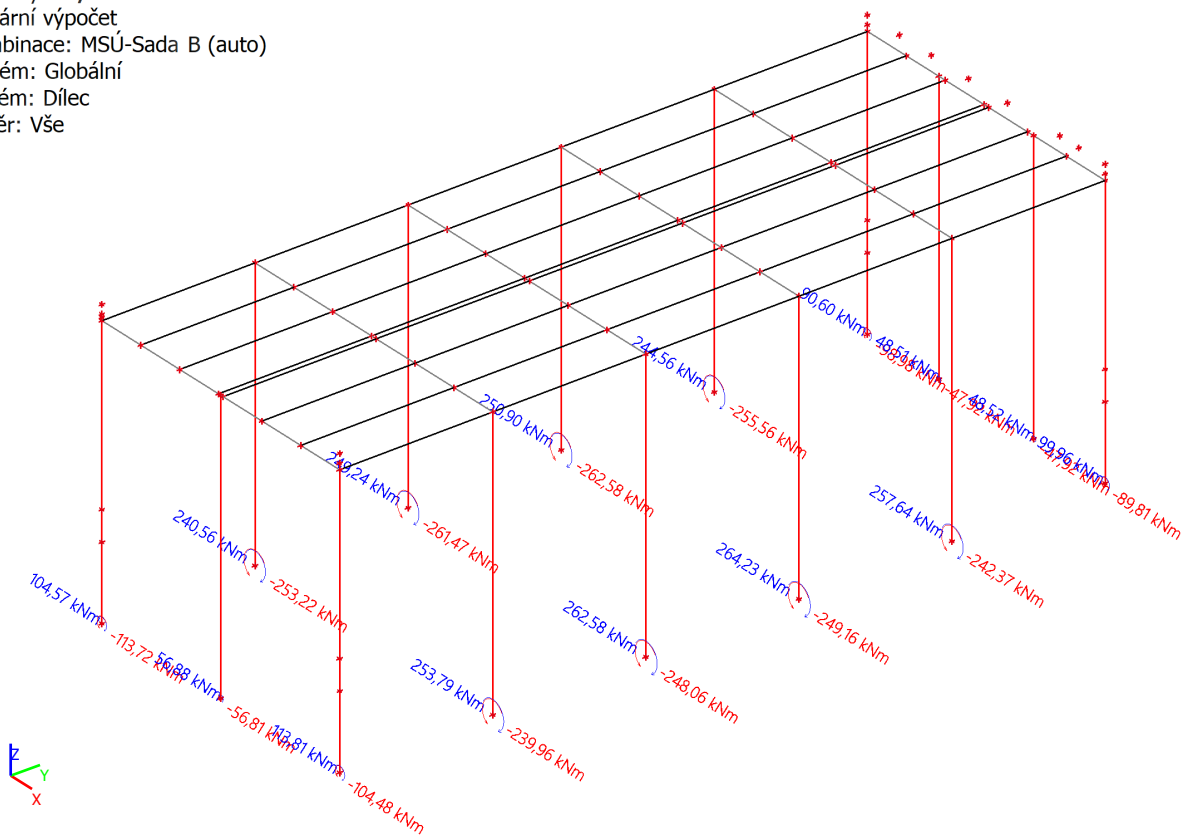
Extrém: Dílec

Výběr: Vše



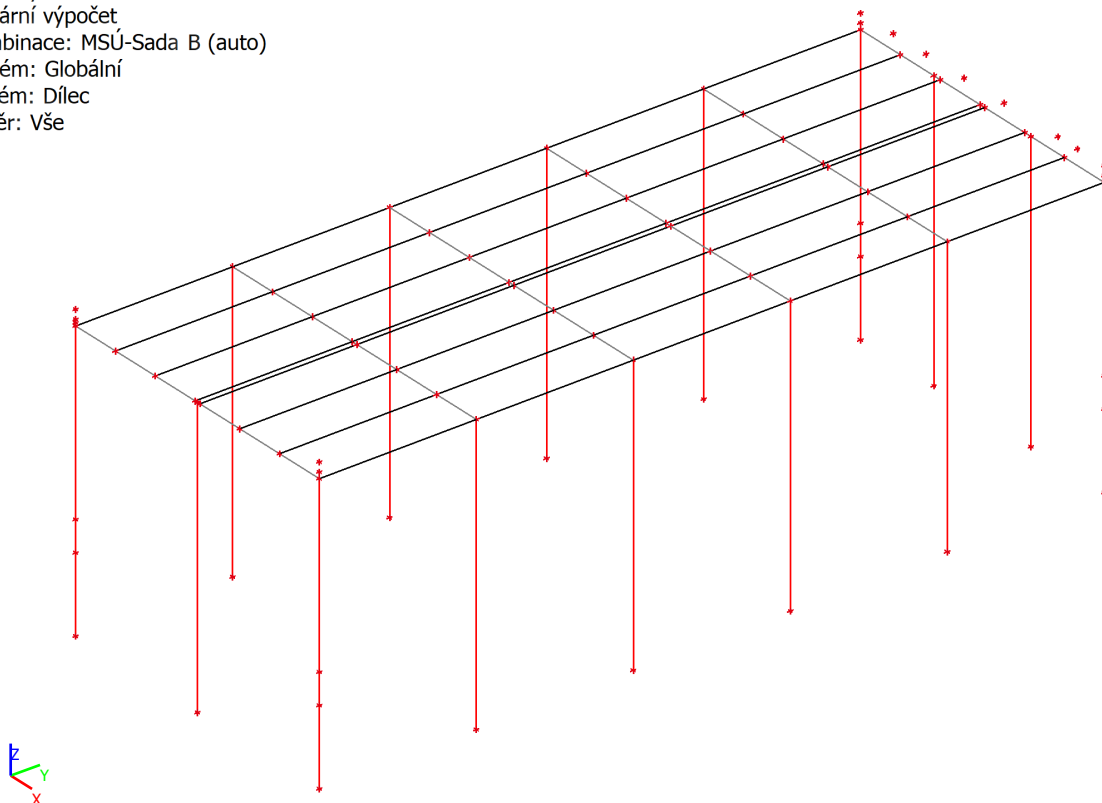
8.6.3.6. Reakce [kN ,kNm] - M_y

Hodnoty: **M_y**
Lineární výpočet
Kombinace: MSÚ-Sada B (auto)
Systém: Globální
Extrém: Dílec
Výběr: Vše



8.6.3.7. Reakce [kN ,kNm] - M_z

Hodnoty: **M_z**
Lineární výpočet
Kombinace: MSÚ-Sada B (auto)
Systém: Globální
Extrém: Dílec
Výběr: Vše



8.6.4. REAKCE MSP

8.6.4.1. Reakce

Lineární výpočet

Kombinace: MSP-Char (auto)

Systém: Globální

Extrém: Dílec

Výběr: Vše

Uzlové reakce

Jméno	Stav	R _x [kN]	R _y [kN]	R _z [kN]	M _x [kNm]	M _y [kNm]	M _z [kNm]	e _x [mm]	e _y [mm]
Sn13/N34	MSP-Char (auto)/1	-0,02	-11,58	74,29	53,38	-0,06	0,00	718,6	-0,7
Sn13/N34	MSP-Char (auto)/2	6,50	0,00	87,43	0,00	41,76	0,00	0,0	477,7
Sn13/N34	MSP-Char (auto)/3	-0,02	9,15	74,29	-47,22	-0,06	0,00	-635,6	-0,7
Sn13/N34	MSP-Char (auto)/4	10,85	0,00	74,29	0,00	69,69	0,00	0,0	938,1
Sn13/N34	MSP-Char (auto)/5	-13,32	0,00	83,49	0,00	-75,83	0,00	0,0	-908,2
Sn14/N36	MSP-Char (auto)/1	0,13	-3,61	152,24	33,53	1,07	0,00	220,2	7,0
Sn14/N36	MSP-Char (auto)/6	0,20	0,00	206,32	0,00	1,63	0,00	0,0	7,9
Sn14/N36	MSP-Char (auto)/3	0,13	3,60	152,24	-33,44	1,07	0,00	-219,6	7,0
Sn14/N36	MSP-Char (auto)/7	26,31	0,00	190,10	0,00	160,62	0,00	0,0	845,0
Sn14/N36	MSP-Char (auto)/8	-30,40	0,00	152,24	0,00	-168,46	0,00	0,0	-1106,5
Sn15/N38	MSP-Char (auto)/1	0,00	-22,95	100,59	102,16	0,00	0,00	1015,6	0,0
Sn15/N38	MSP-Char (auto)/4	4,08	0,00	100,58	0,00	37,92	0,00	0,0	377,0
Sn15/N38	MSP-Char (auto)/6	0,00	0,00	128,38	0,00	0,00	0,00	0,0	0,0
Sn15/N38	MSP-Char (auto)/3	0,00	18,23	100,59	-90,55	0,00	0,00	-900,2	0,0
Sn15/N38	MSP-Char (auto)/8	-4,07	0,00	100,58	0,00	-37,87	0,00	0,0	-376,5
Sn17/N42	MSP-Char (auto)/1	0,02	-11,58	74,29	53,38	0,06	0,00	718,6	0,7
Sn17/N42	MSP-Char (auto)/2	8,00	0,00	87,43	0,00	45,57	0,00	0,0	521,2
Sn17/N42	MSP-Char (auto)/3	0,02	9,15	74,29	-47,22	0,06	0,00	-635,6	0,7
Sn17/N42	MSP-Char (auto)/7	13,32	0,00	83,49	0,00	75,89	0,00	0,0	909,0
Sn17/N42	MSP-Char (auto)/8	-10,85	0,00	74,29	0,00	-69,63	0,00	0,0	-937,4
Sn22/N52	MSP-Char (auto)/1	-0,13	-3,61	152,24	33,53	-1,07	0,00	220,2	-7,0
Sn22/N52	MSP-Char (auto)/4	30,44	0,00	152,24	0,00	168,84	0,00	0,0	1109,0
Sn22/N52	MSP-Char (auto)/6	-0,20	0,00	206,32	0,00	-1,63	0,00	0,0	-7,9
Sn22/N52	MSP-Char (auto)/3	-0,13	3,60	152,24	-33,44	-1,07	0,00	-219,6	-7,0
Sn22/N52	MSP-Char (auto)/5	-26,26	0,00	190,10	0,00	-160,22	0,00	0,0	-842,8
Sn23/N54	MSP-Char (auto)/1	-0,12	-3,60	152,13	33,51	-1,06	0,00	220,3	-6,9
Sn23/N54	MSP-Char (auto)/4	30,61	0,00	152,13	0,00	174,70	0,00	0,0	1148,3
Sn23/N54	MSP-Char (auto)/6	-0,18	0,00	206,21	0,00	-1,62	0,00	0,0	-7,8
Sn23/N54	MSP-Char	-0,12	3,59	152,13	-33,43	-1,06	0,00	-219,7	-6,9

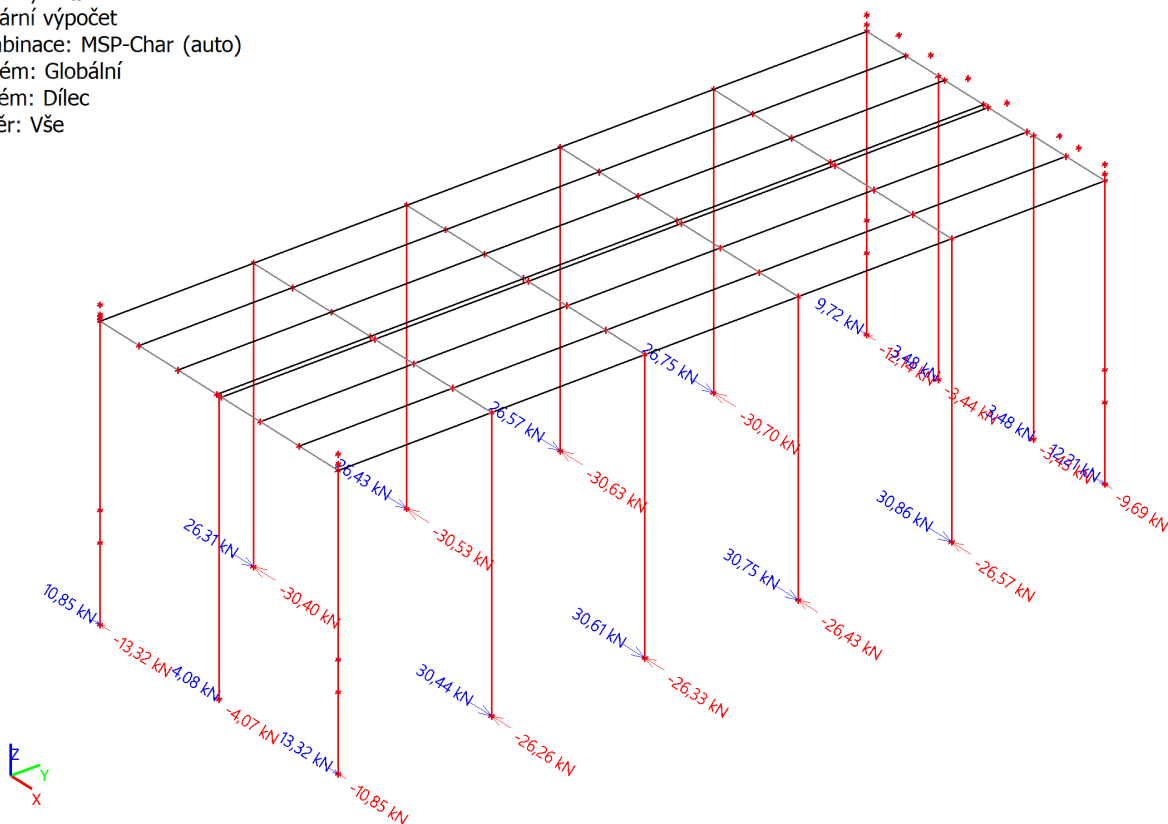
Jméno	Stav	R _x [kN]	R _y [kN]	R _z [kN]	M _x [kNm]	M _y [kNm]	M _z [kNm]	e _x [mm]	e _y [mm]
	(auto)/3								
Sn23/N54	MSP-Char (auto)/5	-26,33	0,00	189,99	0,00	-165,62	0,00	0,0	-871,7
Sn25/N58	MSP-Char (auto)/1	0,12	-3,60	152,13	33,51	1,06	0,00	220,3	6,9
Sn25/N58	MSP-Char (auto)/6	0,18	0,00	206,21	0,00	1,62	0,00	0,0	7,8
Sn25/N58	MSP-Char (auto)/3	0,12	3,59	152,13	-33,43	1,06	0,00	-219,7	6,9
Sn25/N58	MSP-Char (auto)/7	26,43	0,00	189,99	0,00	166,41	0,00	0,0	875,9
Sn25/N58	MSP-Char (auto)/8	-30,53	0,00	152,13	0,00	-173,96	0,00	0,0	-1143,5
Sn28/N64	MSP-Char (auto)/1	0,12	-3,60	152,13	33,50	1,06	0,00	220,2	6,9
Sn28/N64	MSP-Char (auto)/6	0,18	0,00	206,21	0,00	1,61	0,00	0,0	7,8
Sn28/N64	MSP-Char (auto)/3	0,12	3,59	152,13	-33,42	1,06	0,00	-219,7	6,9
Sn28/N64	MSP-Char (auto)/7	26,57	0,00	189,99	0,00	167,52	0,00	0,0	881,7
Sn28/N64	MSP-Char (auto)/8	-30,63	0,00	152,13	0,00	-174,70	0,00	0,0	-1148,3
Sn31/N70	MSP-Char (auto)/1	0,13	-3,60	152,13	33,49	1,10	0,00	220,2	7,2
Sn31/N70	MSP-Char (auto)/6	0,20	0,00	206,21	0,00	1,68	0,00	0,0	8,1
Sn31/N70	MSP-Char (auto)/3	0,13	3,59	152,13	-33,43	1,10	0,00	-219,7	7,2
Sn31/N70	MSP-Char (auto)/7	26,75	0,00	189,99	0,00	163,29	0,00	0,0	859,5
Sn31/N70	MSP-Char (auto)/8	-30,70	0,00	152,13	0,00	-170,01	0,00	0,0	-1117,5
Sn43/N94	MSP-Char (auto)/1	-0,02	-6,87	64,95	41,56	-0,06	0,00	639,8	-0,9
Sn43/N94	MSP-Char (auto)/2	5,82	0,00	73,08	0,00	36,18	0,00	0,0	495,0
Sn43/N94	MSP-Char (auto)/3	-0,02	8,32	64,95	-45,15	-0,06	0,00	-695,2	-0,9
Sn43/N94	MSP-Char (auto)/4	9,72	0,00	64,95	0,00	60,38	0,00	0,0	929,6
Sn43/N94	MSP-Char (auto)/5	-12,14	0,00	70,64	0,00	-66,00	0,00	0,0	-934,2
Sn44/N96	MSP-Char (auto)/1	0,00	-14,50	82,44	79,88	0,00	0,00	969,0	0,0
Sn44/N96	MSP-Char (auto)/4	3,48	0,00	82,43	0,00	32,35	0,00	0,0	392,4
Sn44/N96	MSP-Char (auto)/6	0,00	0,00	101,35	0,00	0,00	0,00	0,0	0,0
Sn44/N96	MSP-Char (auto)/3	0,00	17,88	82,44	-88,57	0,00	0,00	-1074,4	0,0
Sn44/N96	MSP-Char (auto)/5	-3,43	0,00	95,67	0,00	-31,94	0,00	0,0	-333,9
Sn45/N98	MSP-Char (auto)/1	0,00	-14,50	82,44	79,88	0,00	0,00	969,0	0,0
Sn45/N98	MSP-Char (auto)/4	3,48	0,00	82,43	0,00	32,34	0,00	0,0	392,3
Sn45/N98	MSP-Char (auto)/6	0,00	0,00	101,35	0,00	0,00	0,00	0,0	0,0
Sn45/N98	MSP-Char (auto)/3	0,00	17,88	82,44	-88,57	0,00	0,00	-1074,4	0,0
Sn45/N98	MSP-Char (auto)/7	3,48	0,00	95,67	0,00	32,34	0,00	0,0	338,0
Sn45/N98	MSP-Char (auto)/8	-3,44	0,00	82,43	0,00	-31,95	0,00	0,0	-387,6
Sn47/N184	MSP-Char (auto)/1	0,02	-6,87	64,95	41,56	0,06	0,00	639,8	0,9

Jméno	Stav	R _x [kN]	R _y [kN]	R _z [kN]	M _x [kNm]	M _y [kNm]	M _z [kNm]	e _x [mm]	e _y [mm]
Sn47/N184	MSP-Char (auto)/2	7,34	0,00	73,08	0,00	40,03	0,00	0,0	547,7
Sn47/N184	MSP-Char (auto)/3	0,02	8,32	64,95	-45,15	0,06	0,00	-695,2	0,9
Sn47/N184	MSP-Char (auto)/7	12,21	0,00	70,64	0,00	66,65	0,00	0,0	943,5
Sn47/N184	MSP-Char (auto)/8	-9,69	0,00	64,95	0,00	-59,85	0,00	0,0	-921,5
Sn48/N1	MSP-Char (auto)/1	-0,12	-3,60	152,13	33,50	-1,06	0,00	220,2	-6,9
Sn48/N1	MSP-Char (auto)/4	30,75	0,00	152,13	0,00	175,80	0,00	0,0	1155,6
Sn48/N1	MSP-Char (auto)/6	-0,18	0,00	206,21	0,00	-1,61	0,00	0,0	-7,8
Sn48/N1	MSP-Char (auto)/3	-0,12	3,59	152,13	-33,42	-1,06	0,00	-219,7	-6,9
Sn48/N1	MSP-Char (auto)/5	-26,43	0,00	189,99	0,00	-166,36	0,00	0,0	-875,6
Sn49/N253	MSP-Char (auto)/1	-0,13	-3,60	152,13	33,49	-1,10	0,00	220,2	-7,2
Sn49/N253	MSP-Char (auto)/4	30,86	0,00	152,13	0,00	171,39	0,00	0,0	1126,6
Sn49/N253	MSP-Char (auto)/6	-0,20	0,00	206,21	0,00	-1,68	0,00	0,0	-8,1
Sn49/N253	MSP-Char (auto)/3	-0,13	3,59	152,13	-33,43	-1,10	0,00	-219,7	-7,2
Sn49/N253	MSP-Char (auto)/5	-26,57	0,00	189,99	0,00	-161,84	0,00	0,0	-851,8

Jméno	Klíč kombinace
MSP-Char (auto)/1	G0 + G2 + Q2.3 + G1
MSP-Char (auto)/2	G0 + G2 + 0.60*Q2.1 + Q3 + G1
MSP-Char (auto)/3	G0 + G2 + Q2.4 + G1
MSP-Char (auto)/4	G0 + G2 + Q2.1 + G1
MSP-Char (auto)/5	G0 + G2 + Q2.2 + 0.70*Q3 + G1
MSP-Char (auto)/6	G0 + G2 + Q3 + G1
MSP-Char (auto)/7	G0 + G2 + Q2.1 + 0.70*Q3 + G1
MSP-Char (auto)/8	G0 + G2 + Q2.2 + G1

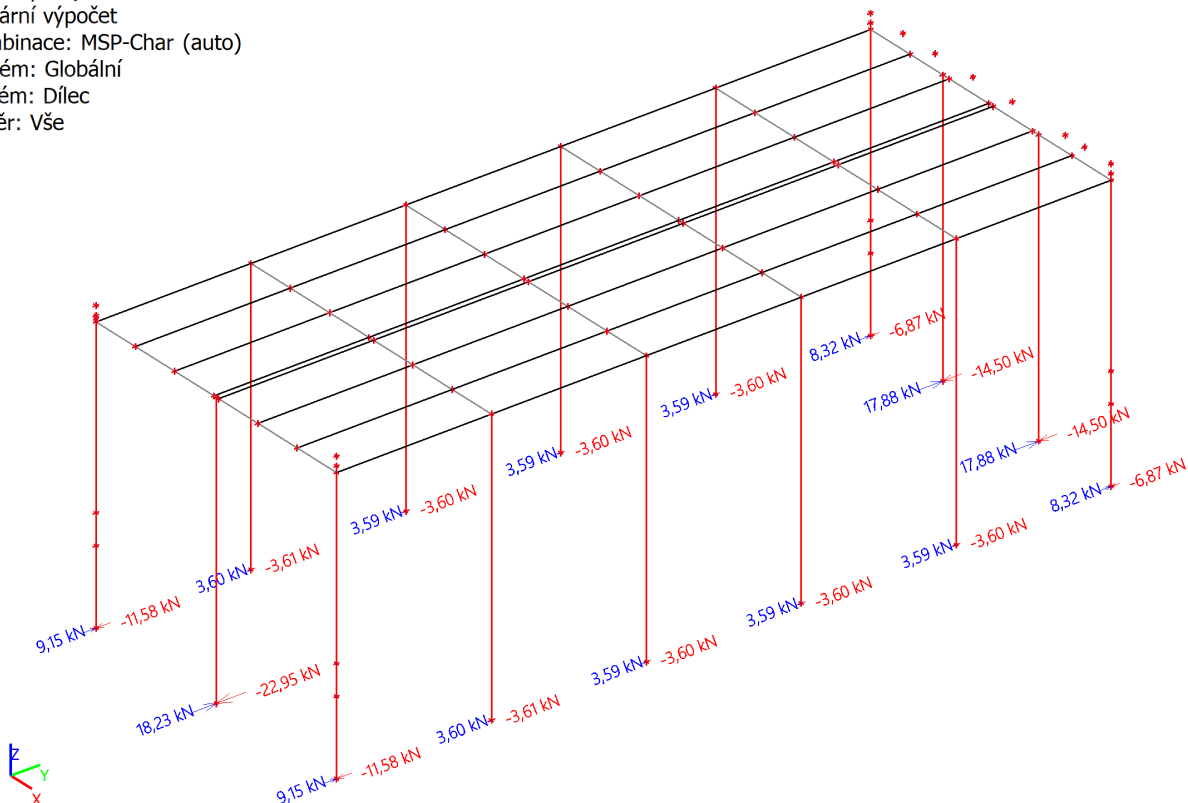
8.6.4.2. Reakce [kN ,kNm] - R_x

Hodnoty: R_x
Lineární výpočet
Kombinace: MSP-Char (auto)
Systém: Globální
Extrém: Dílec
Výběr: Vše



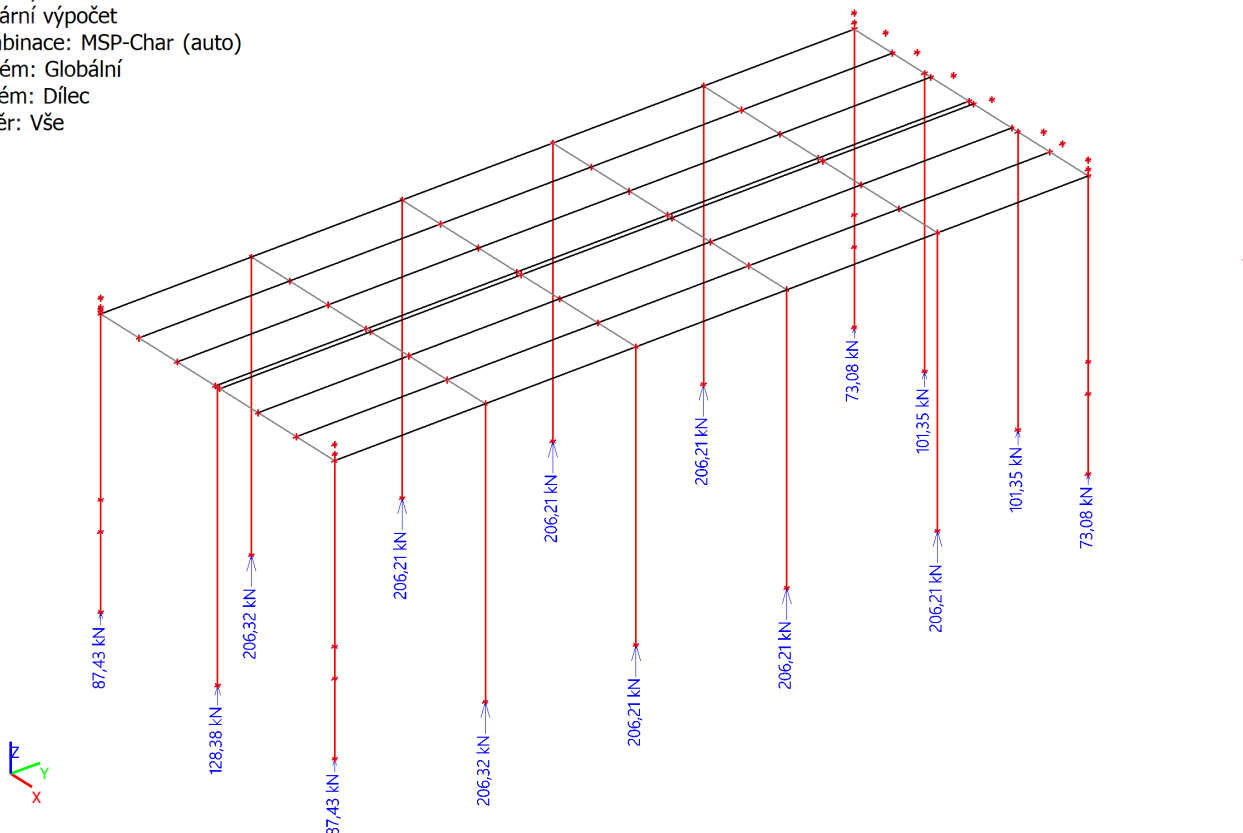
8.6.4.3. Reakce [kN ,kNm] - R_y

Hodnoty: R_y
Lineární výpočet
Kombinace: MSP-Char (auto)
Systém: Globální
Extrém: Dílec
Výběr: Vše



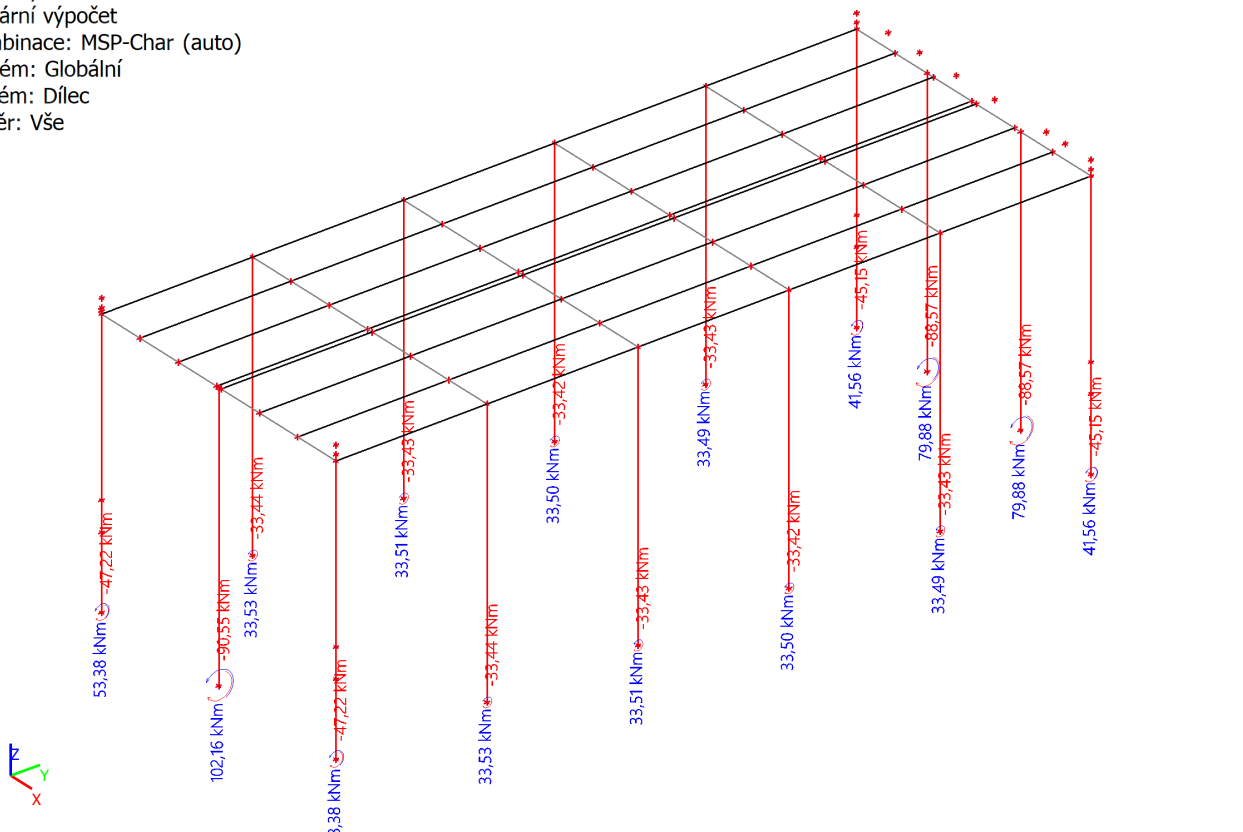
8.6.4.4. Reakce [kN ,kNm] - R_z

Hodnoty: **R_z**
Lineární výpočet
Kombinace: MSP-Char (auto)
Systém: Globální
Extrém: Dílec
Výběr: Vše



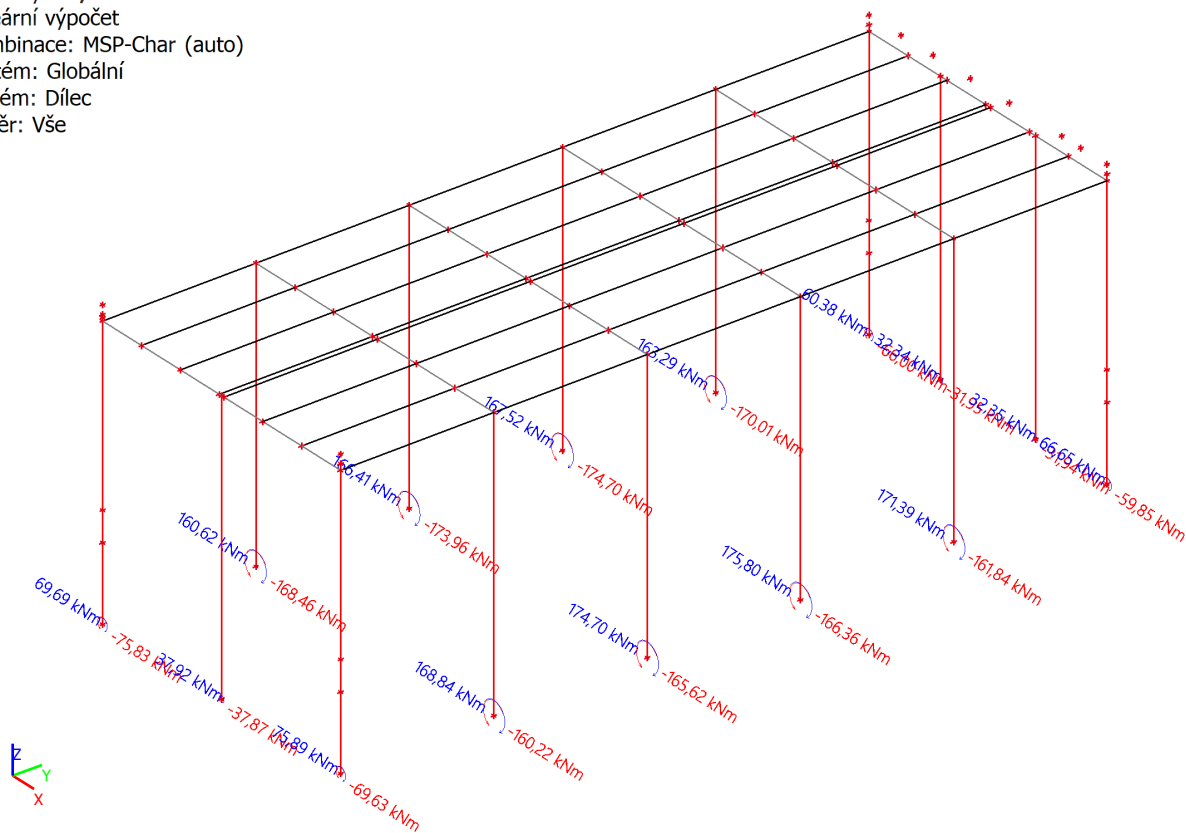
8.6.4.5. Reakce [kN ,kNm] - M_x

Hodnoty: **M_x**
Lineární výpočet
Kombinace: MSP-Char (auto)
Systém: Globální
Extrém: Dílec
Výběr: Vše



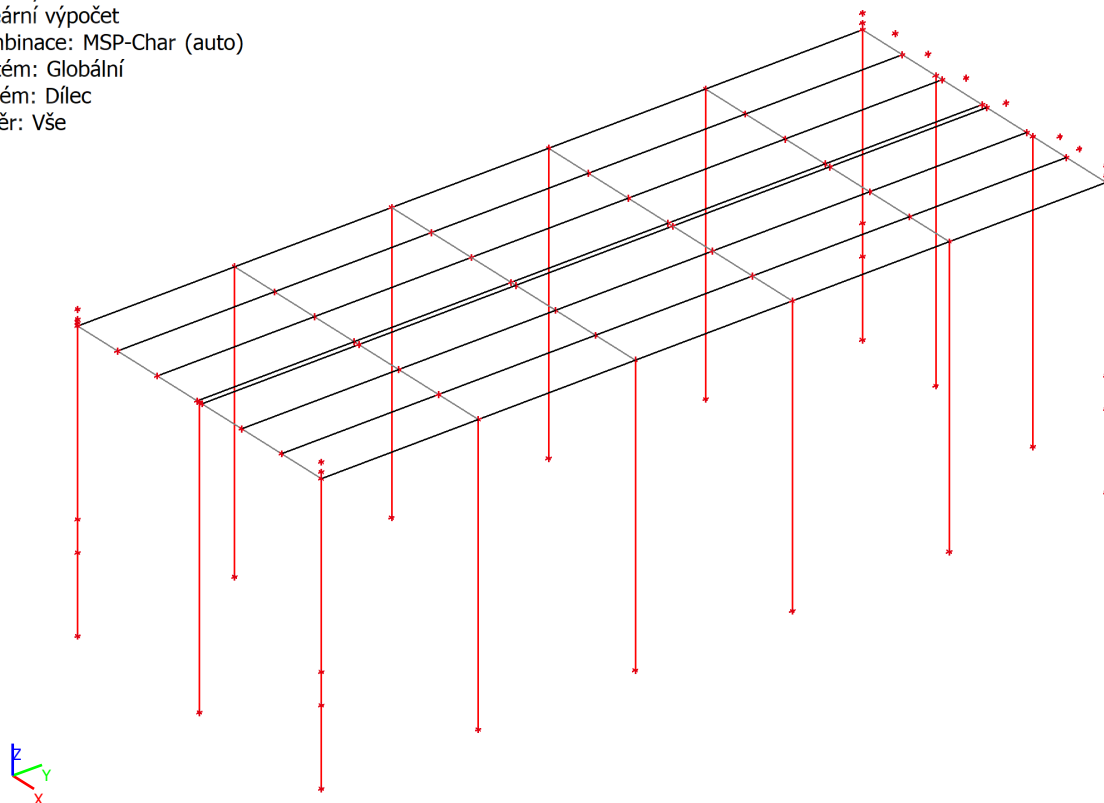
8.6.4.6. Reakce [kN ,kNm] - M_y

Hodnoty: **M_y**
Lineární výpočet
Kombinace: MSP-Char (auto)
Systém: Globální
Extrém: Dílec
Výběr: Vše



8.6.4.7. Reakce [kN ,kNm] - M_z

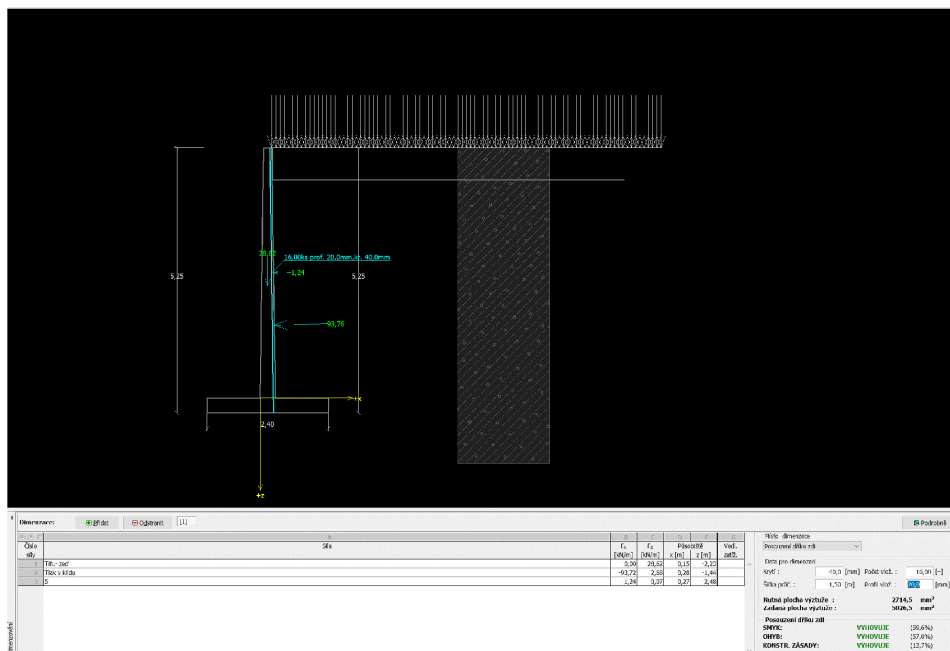
Hodnoty: **M_z**
Lineární výpočet
Kombinace: MSP-Char (auto)
Systém: Globální
Extrém: Dílec
Výběr: Vše



unosnost



dimenzovani



10. Závěr

Výsledky výpočtu jsou archivovány u zpracovatele PD konstrukční části. Při výpočtu byly ověřeny navržené rozměry, které jsou vydimenzovatelné.